

ผลการทดลอง

1. การศึกษาเบื้องต้น

1.1 การทดลองวิธีการหาปริมาณสาร ไคฟลูเบนซูรอน

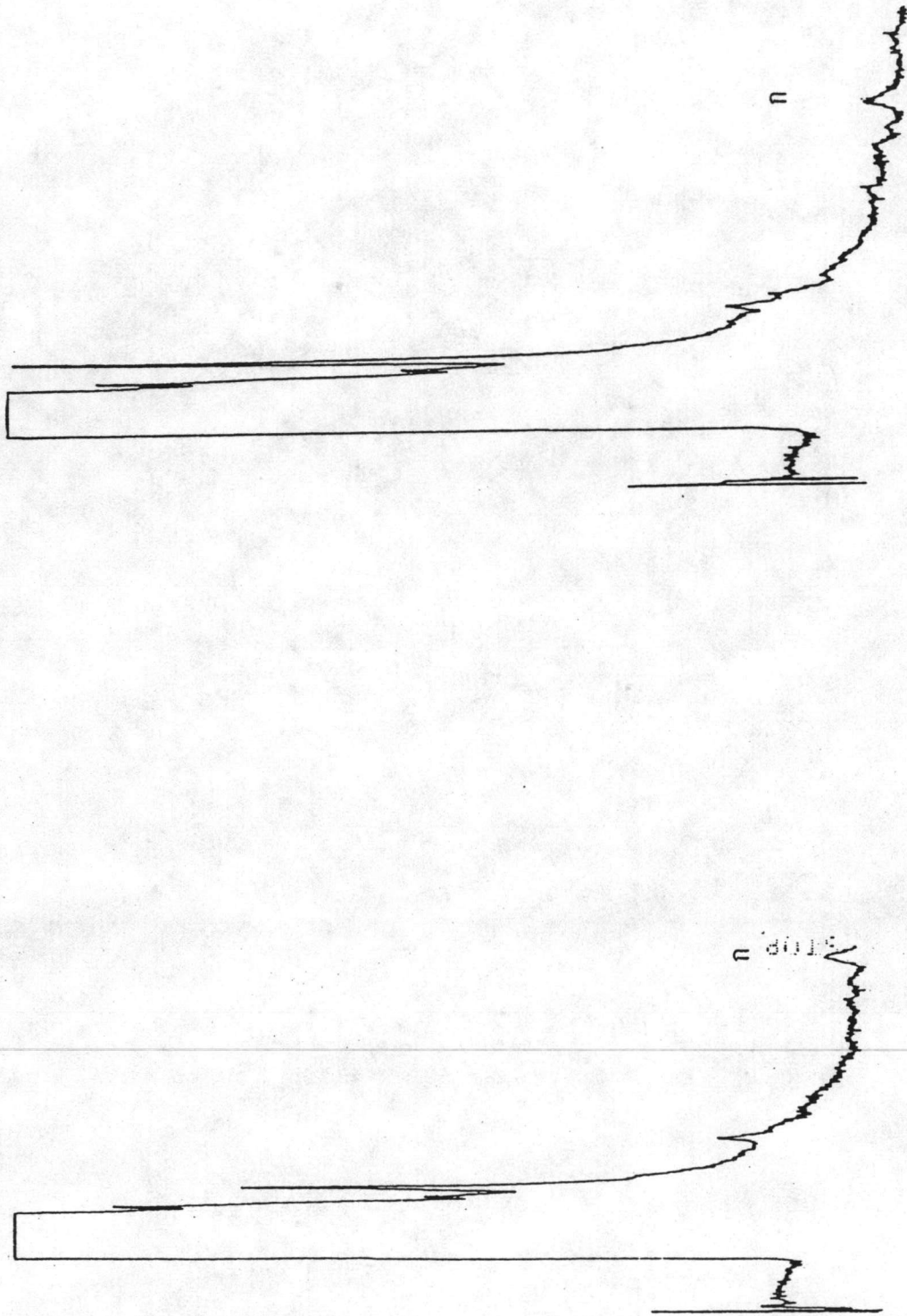
1.1.1 การหาปริมาณสารไคฟลูเบนซูรอน โดยผสมสารไคฟลูเบนซูรอนให้ได้ระดับความเข้มข้น 0.3, 0.5, 0.7, 1.0 และ 2.0 ไมโครกรัมต่อลิตร ซึ่งเป็นระดับความเข้มข้นที่ใกล้เคียงกับการทดลองผลของสารไคฟลูเบนซูรอนต่อการลอกคราบของกุ้งแช่บ๊วยวัยอ่อน นำมาหาปริมาณสารไคฟลูเบนซูรอนตามวิธีของ Nimmo et al. (1979) พบว่าโครมาโตแกรมของสารไคฟลูเบนซูรอนที่ระดับความเข้มข้นดังกล่าวข้างต้นไม่แตกต่างกัน (รูปที่ 3, 4, 5, 6 และ 7)

1.1.2 การตรวจหาระดับความเข้มข้นของสารไคฟลูเบนซูรอนที่เครื่อง HPLC ที่มี UV - absorption detector สามารถวัดหาปริมาณได้ โดยฉีดสารต่าง ๆ ดังต่อไปนี้สารละ 3 ครั้ง ๆ ละ 10 ไมโครลิตร

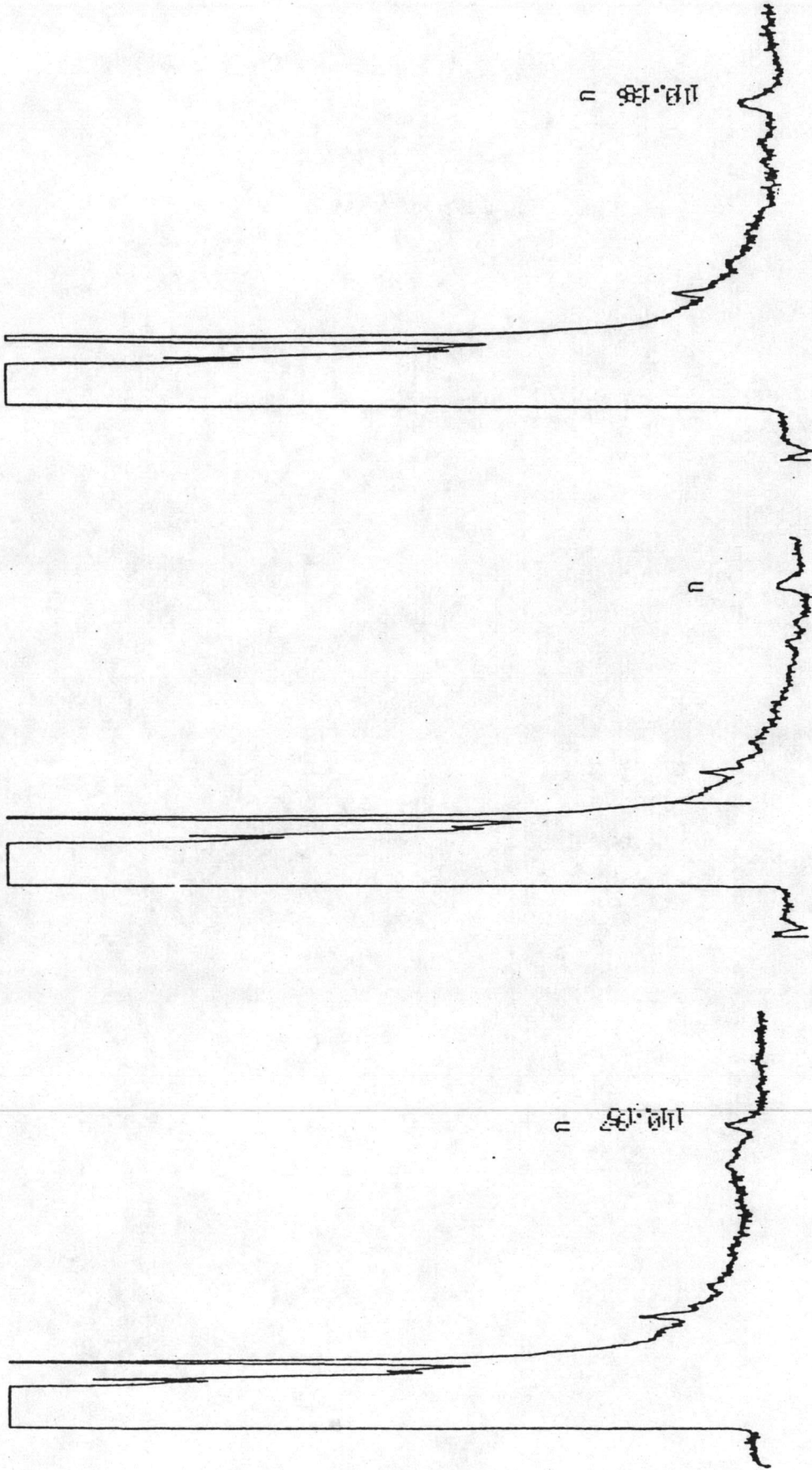
ก. สารที่ใช้เป็น mobile phase (iso-octane ที่มี 2-propanol 10 เปอร์เซ็นต์) จะได้โครมาโตแกรม (chromatogram) มีลักษณะเป็นเส้นราบ (รูปที่ 8)

ข. สารที่ใช้เป็นตัวทำละลายสารไคฟลูเบนซูรอนในการตรวจหาระดับความเข้มข้นครั้งนี้คือ diethyl ether : petroleum ether ในอัตราส่วน 1 : 1 ปรากฏว่า diethyl ether และ petroleum ether มีโครมาโตแกรมดังแสดงตามรูป 9 และ 10 ตามลำดับ เมื่อสารทั้งสองตัวมารวมกันในสัดส่วน 1 : 1 จะได้โครมาโตแกรม ตามรูปที่ 11

ค. สารไคฟลูเบนซูรอนที่ระดับความเข้มข้นต่าง ๆ ที่ความเข้มข้นต่ำสุดคือ 0.1 มิลลิกรัมต่อลิตร เครื่อง HPLC ที่มี UV absorption detector ไม่สามารถวัดหาปริมาณได้ดังแสดงจากโครมาโตแกรมทั้ง 3 รูปที่อยู่ในลักษณะเป็นเส้นแนวราบ (รูป 12) ส่วนของพีก (peak) A ที่ปรากฏอยู่นั้นเป็นโครมาโตแกรมของตัวทำละลายดังกล่าวมาแล้ว อย่างไรก็ตามจากรูปที่ 12 ข. เริ่มมีพีก B เริ่มปรากฏขึ้นมาจากเส้นฐานที่เวลา 7.72 นาที หลังจากฉีดสารไคฟลูเบนซูรอน และโครมาโตแกรมที่ตรงช่วงเวลานี้แสดงความชัดเจนมากขึ้น



รูปที่ 3 และ 4 โคโรมาโตแกรมของสารไดคลูเบนทรอน (ก) ที่ระดับความเข้มข้น ๑.๓ และ ๑.๕ ไมโครกรัมต่อลิตรตามลำดับ



รูปที่ 5, 6, และ 7 โคจรมาโตแกรมของสารไดฟลูออโรน (ก) ที่ระดับความเข้มข้น 0.7, 1.0 และ 2.0 ไมโครกรัมต่อลิตรตามลำดับ

รูปที่ 5, 6, และ 7



ก

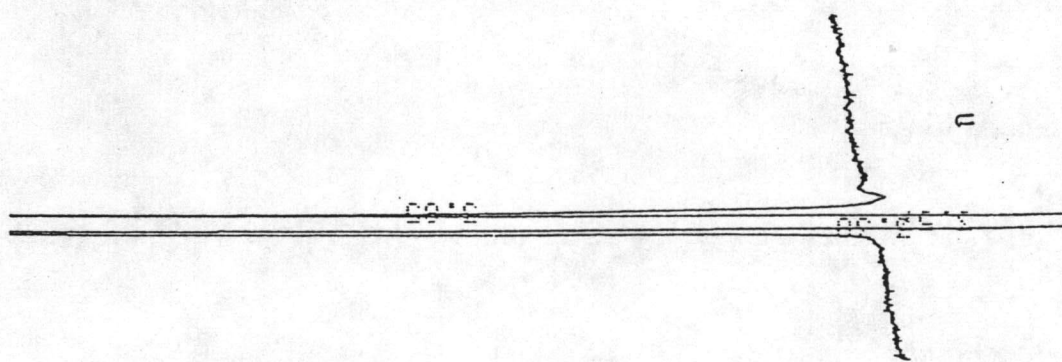
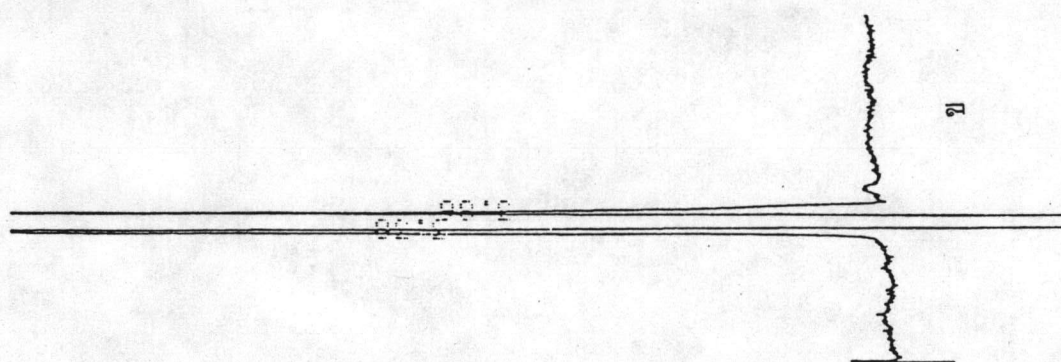
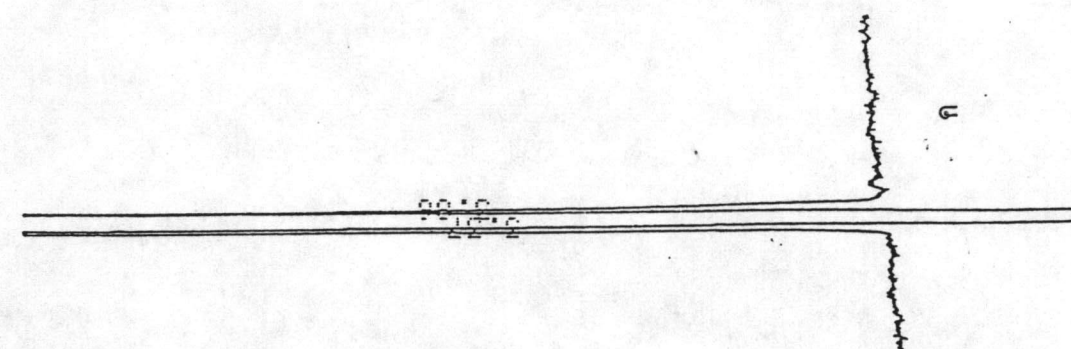


ข

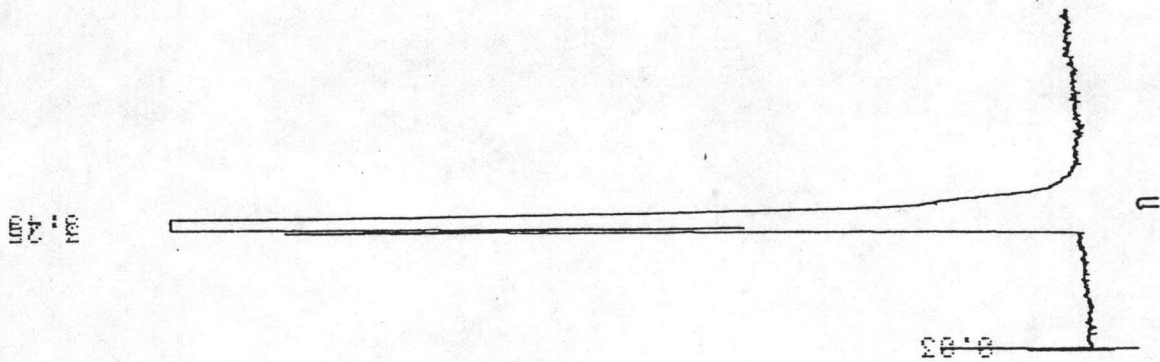
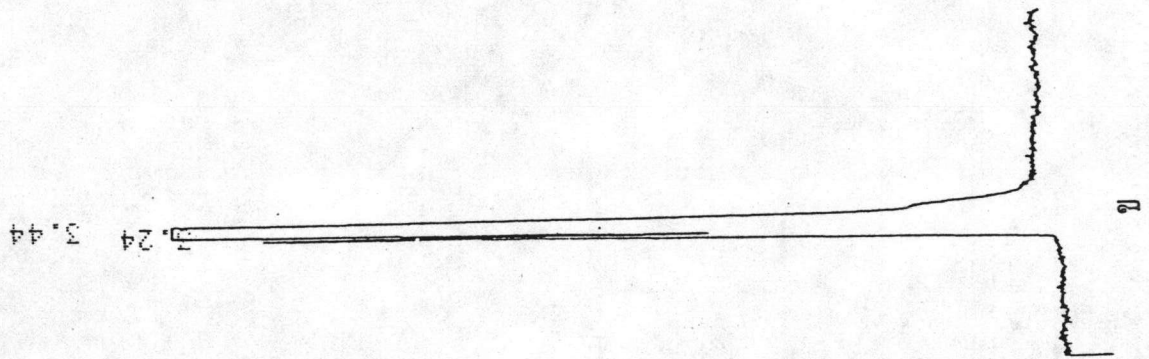
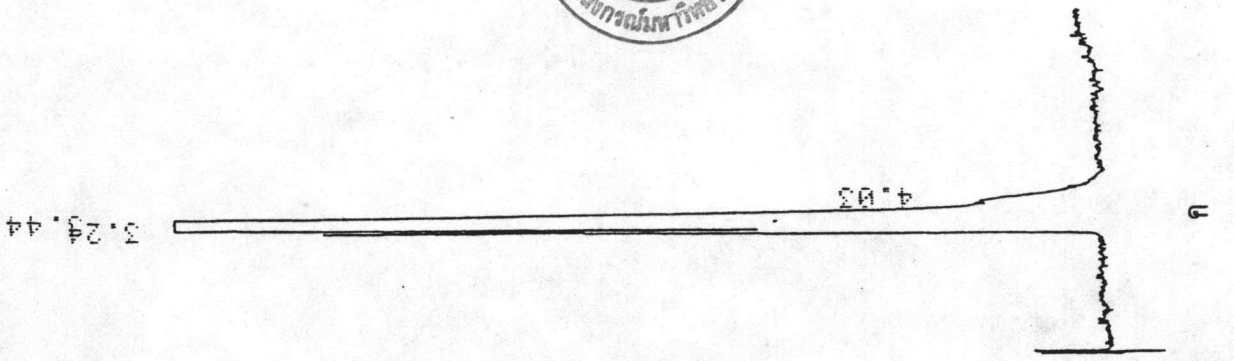


ค

รูปที่ 8 โครมาโตแกรมของ mobile phase (iso-octane ที่มี 2-propanol 10 เปอร์เซ็นต์)
 3 ครั้ง (ก, ข และ ค)

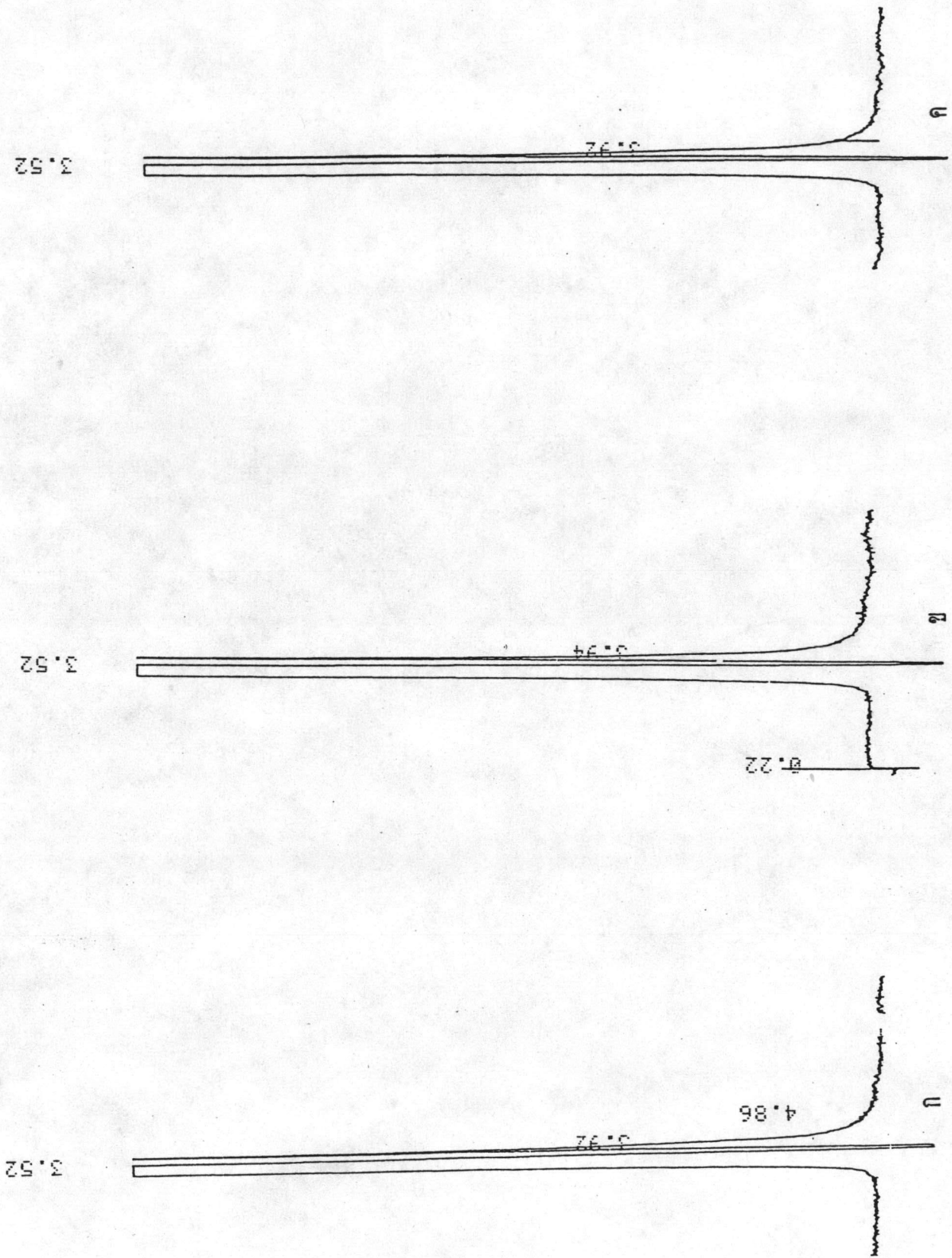


รูปที่ 9 โคจรมาไตแกมของ diethyl ether 3 ครั้ง (ก, ข และ ค)

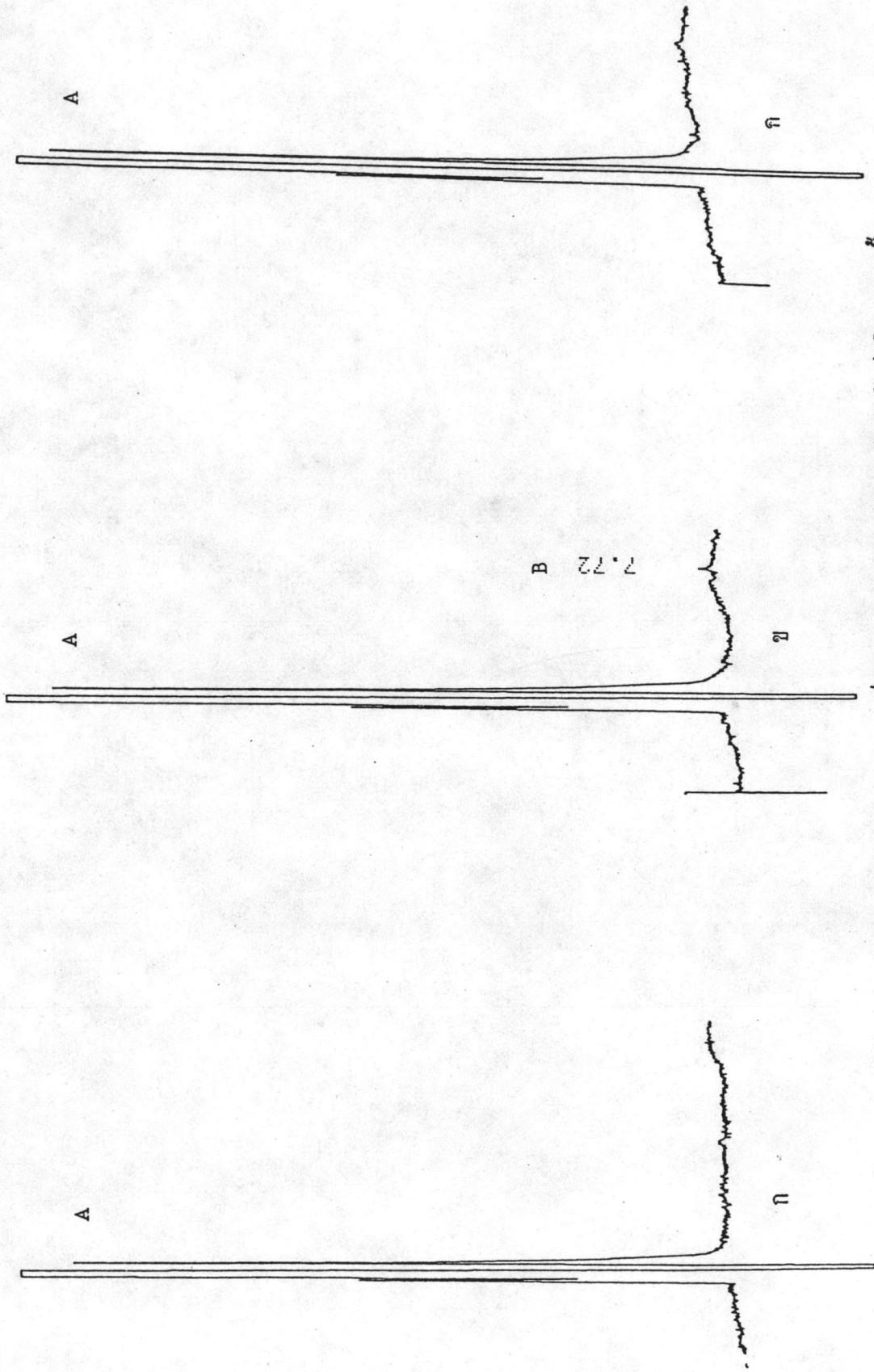


รูปที่ 10 โคโรมาโตแกรมของ petroleum ether 3 ครั้ง (ก, ข และ ค)

๓ : ๓๓



รูปที่ 11 โคโมไทเทรตของ diethyl ether : petroleum ether (1 : 1) 3 ครั้ง (ก, ข และ ค)

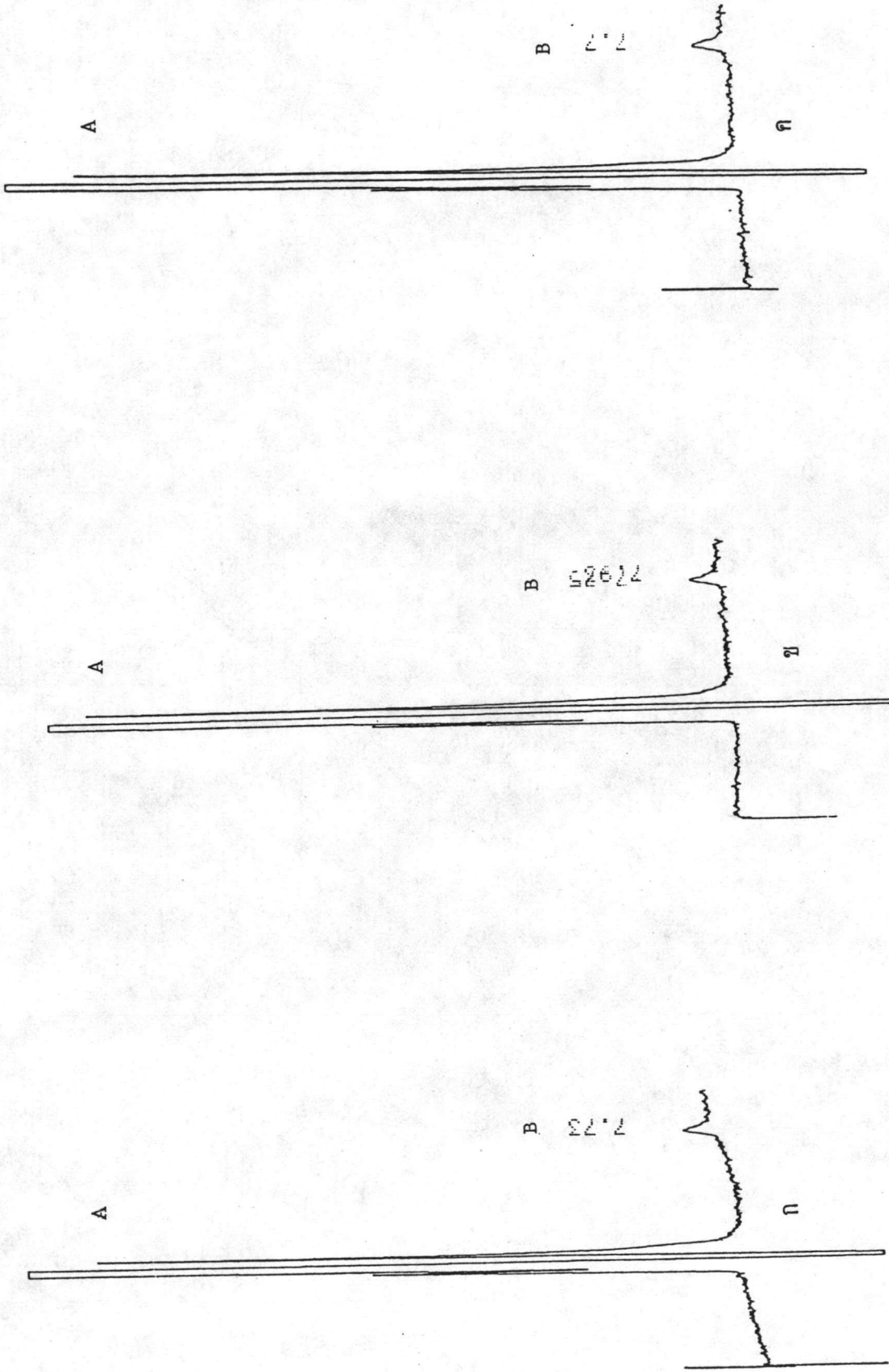


รูปที่ 12 โคโรมาโตแกรมของสารไดลูปเนซอร์นที่ระดับความเข้มข้น 0.1 มิลลิกรัมต่อลิตร 3 ครั้ง

(ก, ข และ ค)

A เป็นโคโรมาโตแกรมของ diethyl ether : petroleum ether (1 : 1),

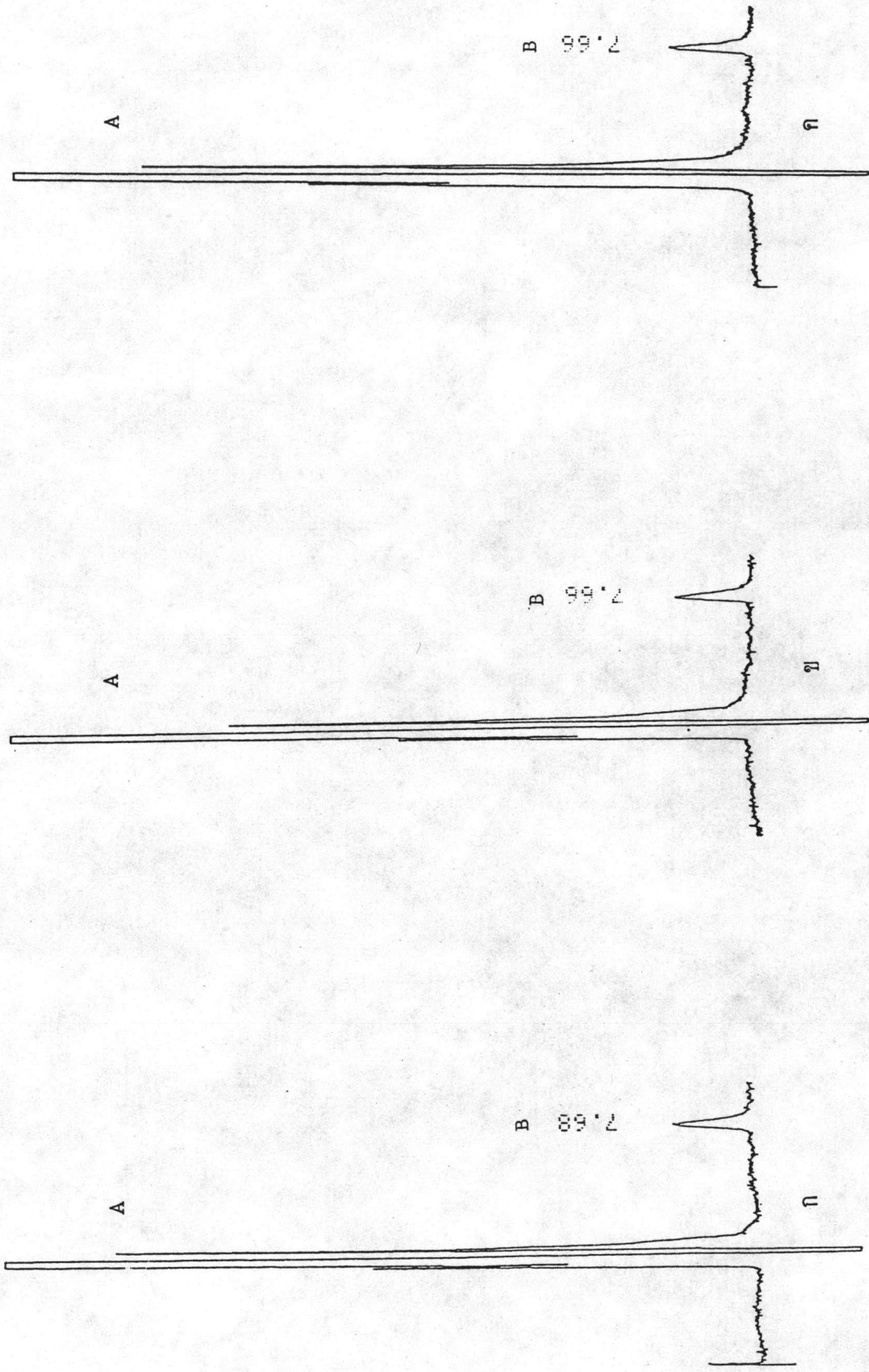
B เป็นโคโรมาโตแกรมของสารไดลูปเนซอร์น



รูปที่ 13 โคโรมาโตแกรมของสารไดโพลเบนซีนที่ระดับความเข้มข้น 0.5 มิลลิกรัมต่อลิตร 3 ครั้ง (ก, ข และ ค)

A เป็นโคโรมาโตแกรมของ diethyl ether : petroleum ether (1 : 1),

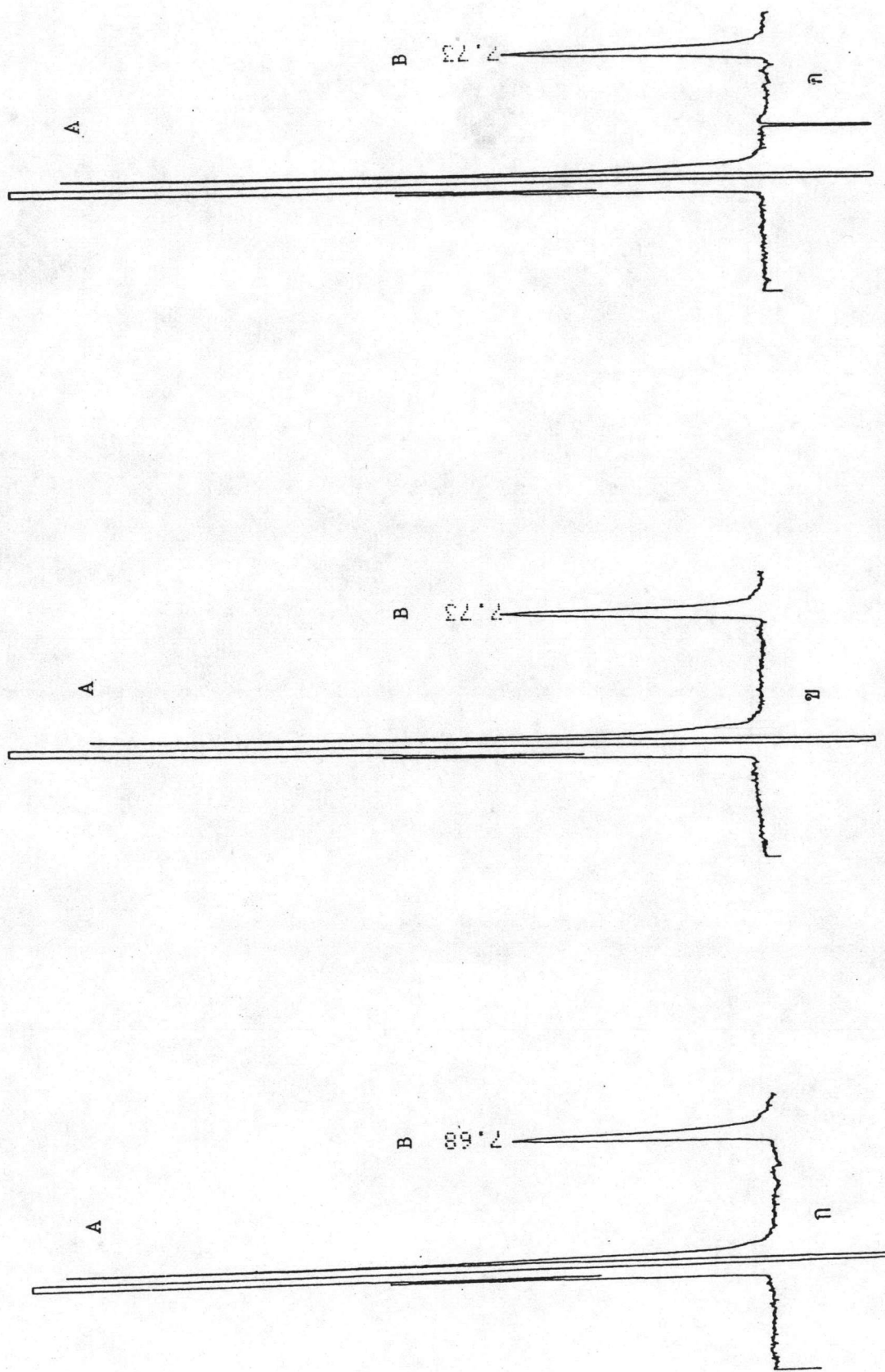
B เป็นโคโรมาโตแกรมของสารไดโพลเบนซีน



รูปที่ 14 โคโรมาโตแกรมของสารไดลยูเบนซอที่ระดับความเข้มข้น 1.0 มิลลิกรัมต่อลิตร 3 ครั้ง (ก, ข และ ค)

A เป็นโคโรมาโตแกรมของ diethyl ether : petroleum ether (1 : 1),

B เป็นโคโรมาโตแกรมของสารไดลยูเบนซอ

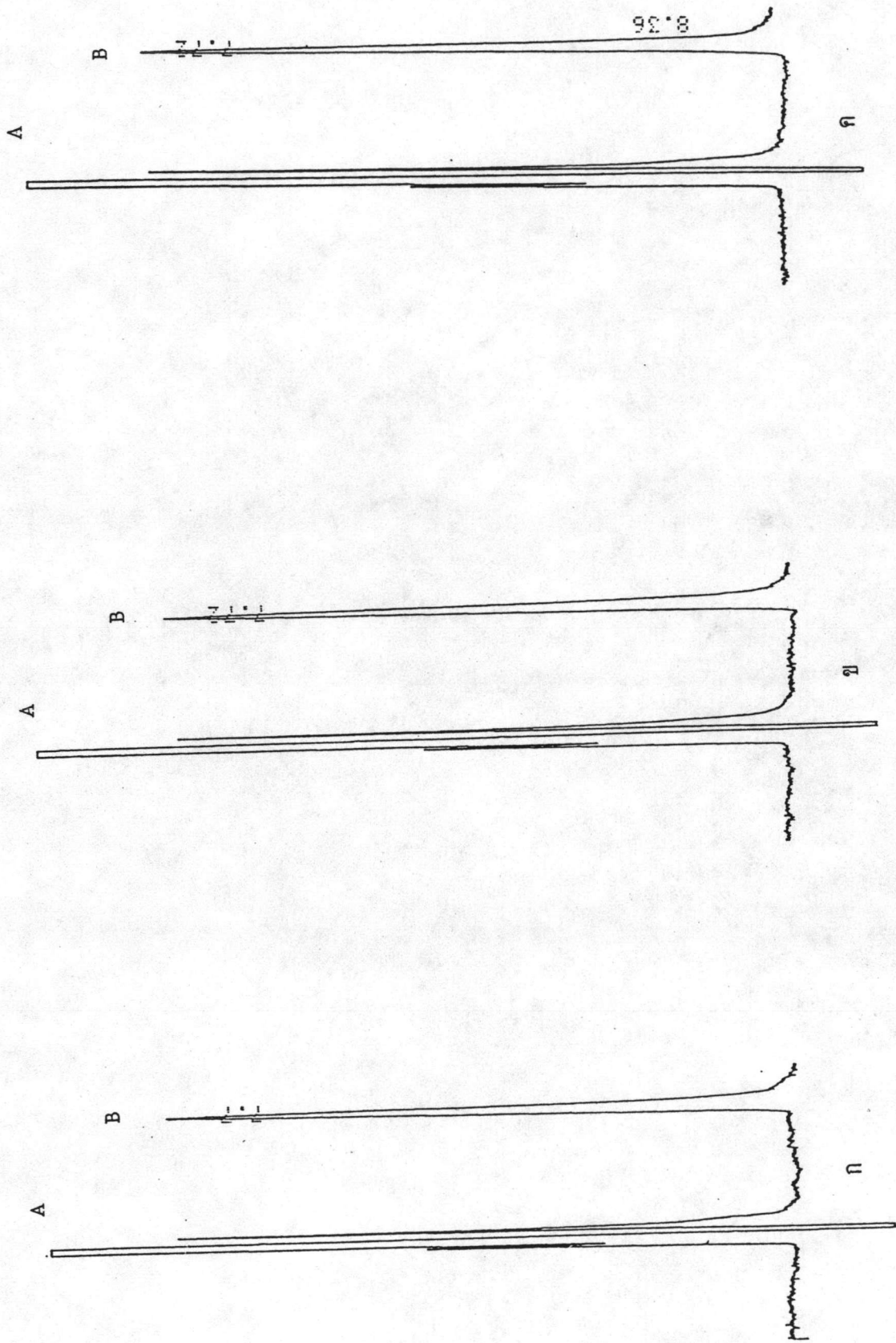


รูปที่ 15 โคโรมา โดแกรมของสาร ไดลู่เบนซอรอนที่ระดับความเข้มข้น 5.0 มิลลิกรัมต่อลิตร 3 ครั้ง

(ก, ข และ ค)

A เป็นโคโรมา โดแกรมของ diethyl ether : petroleum ether (1 : 1),

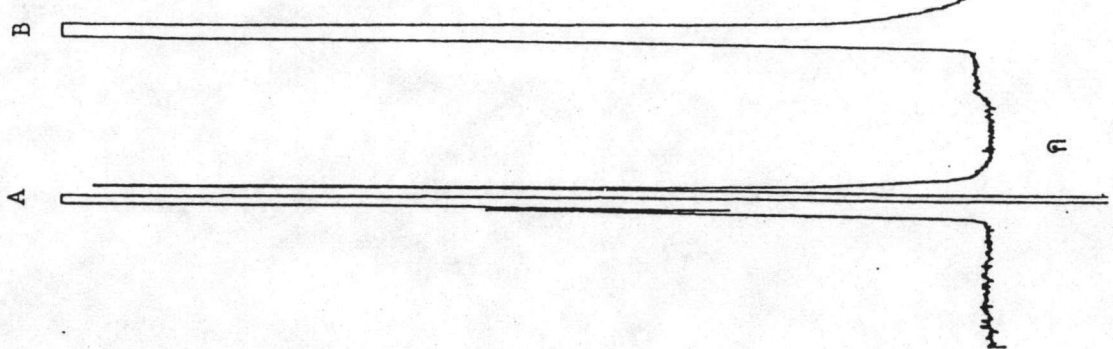
B เป็นโคโรมา โดแกรมของสาร ไดลู่เบนซอรอน



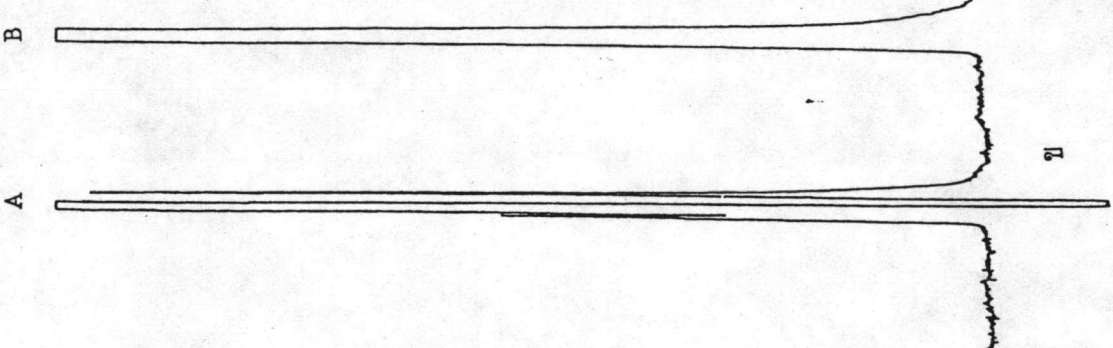
รูปที่ 16 โครมาโตแกรมของสาร ไดฟลูออโรเบนซีนที่ระดับความเข้มข้น 10.0 มิลลิกรัมต่อลิตร 3 ครั้ง (ก, ข และ ค)

A เป็นโครมาโตแกรมของ diethyl ether : petroleum ether (1 : 1),
 B เป็นโครมาโตแกรมของสาร ไดฟลูออโรเบนซีน

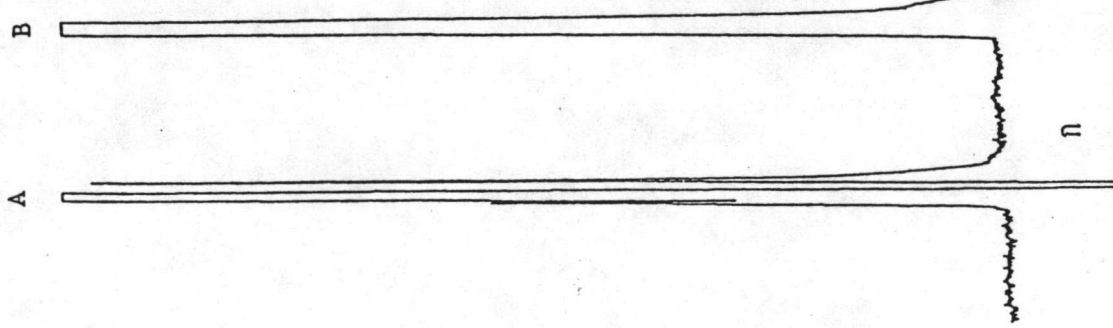
28.2



88.2



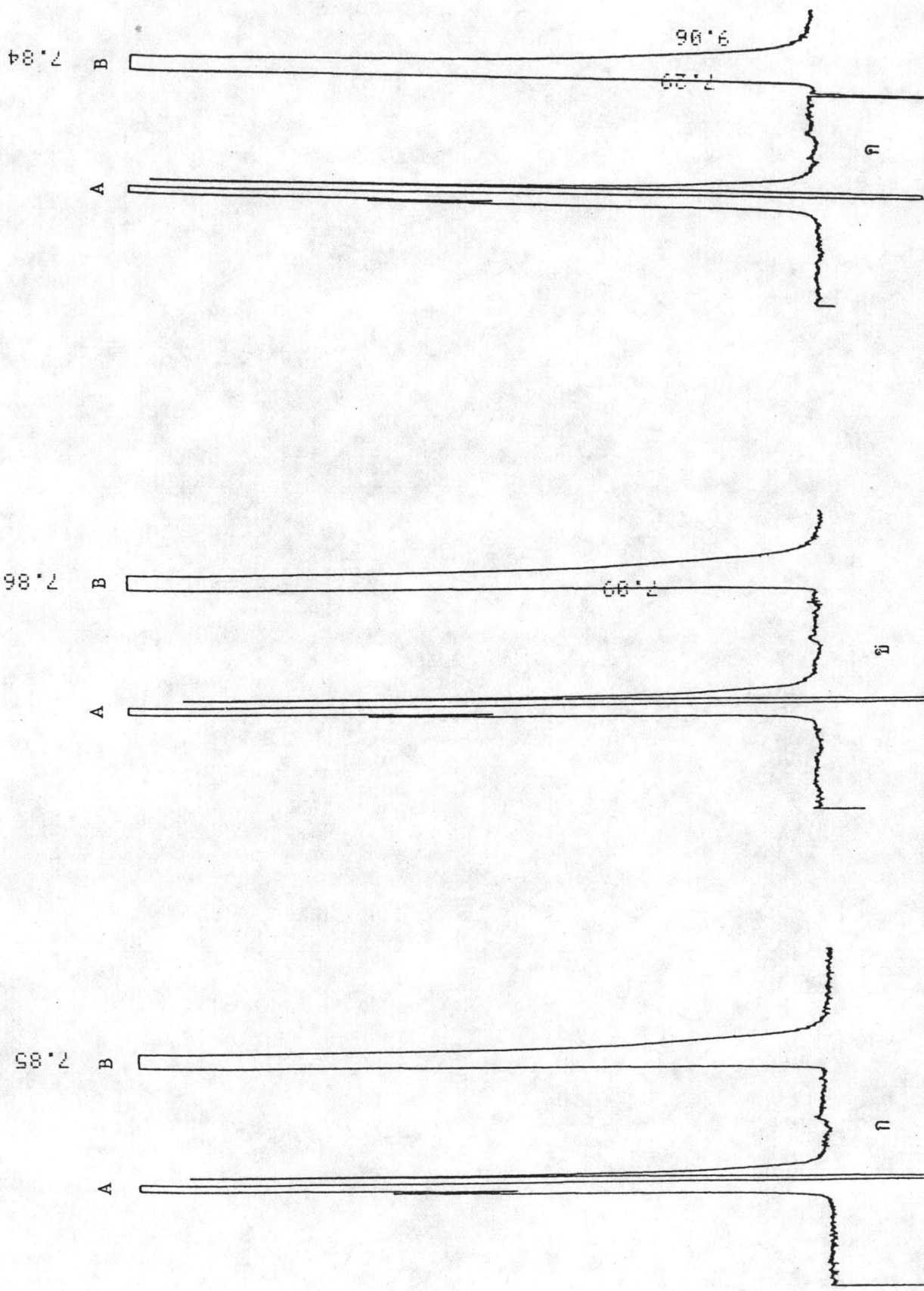
7.89



รูปที่ 17 โคโรมาโตแกรมของสาร ไดฟลูออโรเบนซีนที่ระดับความเข้มข้น 50 มิลลิกรัมต่อลิตร 3 ครั้ง
(ก, ข และ ค)

A เป็นโคโรมาโตแกรมของ diethyl ether : petroleum ether (1 : 1),

B เป็นโคโรมาโตแกรมของสาร ไดฟลูออโรเบนซีน



รูปที่ 18 โคโรมาโตแกรมของสาร ไดเอทิลเอเธอร์ที่ระดับความเข้มข้น 100 มิลลิกรัมต่อลิตร 3 ครั้ง

(ก, ข และ ค)

A เป็นโคโรมาโตแกรมของ diethyl ether : petroleum ether (1 : 1),

B เป็นโคโรมาโตแกรมของสาร ไดเอทิลเอเธอร์

เมื่อนิดสารไดฟลูเบนซูรอนที่ระดับความเข้มข้น 0.5 มิลลิกรัมต่อลิตร (รูปที่ 13) ซึ่งปรากฏชนิด B มีเวลาใกล้เคียงกันคือที่เวลา 7.73, 7.75 และ 7.77 นาที สำหรับความเข้มข้นที่สูงขึ้นมาคือ 1.0, 5.0, 10.0, 50.0 และ 100.0 มิลลิกรัมต่อลิตรนั้น (รูปที่ 14, 15, 16, 17 และ 18) จะมีชนิด B ของสารไดฟลูเบนซูรอนสูงขึ้นและมีพื้นที่ผิวดินมากขึ้นตามระดับความเข้มข้น

1.2 การหาเวลาของรอบการลอกคราบในกิ้งแซบวัยวัยอ่อน

กิ้งแซบวัยวัยอ่อนขนาดความยาวประมาณ 10 มิลลิเมตรที่มีอายุระหว่าง P_{10} ถึง P_{15} จะมีเวลาของรอบการลอกคราบ 2 - 5 วัน โดยมีเวลาของรอบการลอกคราบ 2, 3, 4 และ 5 วัน คิดเป็น 36, 36, 16 และ 1 เปอร์เซ็นต์ตามลำดับ กิ้งแซบวัยวัยอ่อนมีเวลาของรอบการลอกคราบ 2 และ 3 วันมีจำนวนเท่ากัน และมีกิ้งแซบวัยวัยอ่อนที่ตายก่อนการลอกคราบ 11 เปอร์เซ็นต์ (ตารางที่ 8)

ตารางที่ 8 เปอร์เซ็นต์กิ้งแซบวัยวัยอ่อนที่เวลาของรอบการลอกคราบต่าง ๆ

เวลาของรอบการลอกคราบ (วัน)	เปอร์เซ็นต์กิ้งแซบวัยวัยอ่อน*
2	36
3	36
4	16
5	1

* มีกิ้งแซบวัยวัยอ่อนตายก่อนการลอกคราบ 11 เปอร์เซ็นต์



1.3 การทดลองหาระดับความเข้มข้นของสารไดฟลูเบนซูรอนที่มีผลต่อการลอกคราบของ กุ้งแชบ๊วยวัยอ่อน

จากผลการทดลองในข้อ 1.2 กุ้งแชบ๊วยวัยอ่อนมีเวลาของรอบการลอกคราบ 2 - 3 วัน ดังนั้นในการทดลองนี้จึงได้ทำการทดลองเป็นเวลา 6 วันเพื่อให้กุ้งแชบ๊วยวัยอ่อนผ่านการลอกคราบอย่างน้อย 1 ครั้ง ข้อมูลของกุ้งแชบ๊วยวัยอ่อนทุกกลุ่มการทดลองตั้งแต่วันที่ 1 - 6 ได้สรุปไว้ในตารางที่ 9 ในการทดลอง 6 วันกลุ่มระดับความเข้มข้น 1.0 ไมโครกรัมต่อลิตรมีการตายมากที่สุดคือกุ้งแชบ๊วยวัยอ่อนตายหมดทั้ง 3 ซ้ำ รองลงมาคือระดับความเข้มข้น 0.7, 0.5, 0.1 และ 0.3 ไมโครกรัมต่อลิตรซึ่งมีจำนวนการตายของกุ้งแชบ๊วยวัยอ่อนเป็น 11 - 18, 6 - 10, 3 - 6 และ 3 - 5 ตัวตามลำดับ สำหรับหน่วยควบคุมน้ำทะเลมีจำนวนการตายของกุ้งแชบ๊วยวัยอ่อน 2 - 4 ตัวและกลุ่มควบคุมอะซิโตนมีการตายน้อยที่สุดคือ 0 - 3 ตัว เมื่อนำข้อมูลการตายของกุ้งแชบ๊วยวัยอ่อนทุกกลุ่ม (ตารางที่ 10) มาวิเคราะห์ทางสถิติพบว่าค่าเฉลี่ยจำนวนการตายของกุ้งแชบ๊วยวัยอ่อนของแต่ละกลุ่มการทดลองและแต่ละวันของการทดลองแตกต่างกันอย่างมีนัยสำคัญยิ่ง (ตารางที่ 11) และจากการเปรียบเทียบเป็นคู่ ๆ โดยใช้ Duncan's new multiple range test พบว่าสารไดฟลูเบนซูรอนที่ความเข้มข้น 0.7 ไมโครกรัมต่อลิตรเป็นระดับที่เริ่มมีค่าเฉลี่ยจำนวนกุ้งแชบ๊วยวัยอ่อนที่ตายแตกต่างจากหน่วยควบคุมน้ำทะเลและกลุ่มอะซิโตนอย่างมีนัยสำคัญยิ่ง (ที่ระดับ 0.5 ไมโครกรัมต่อลิตร แตกต่างจากกลุ่มควบคุมอะซิโตนอย่างมีนัยสำคัญแต่ไม่แตกต่างจากกลุ่มควบคุมน้ำทะเล) โดยระดับความเข้มข้น 0.7 และ 1.0 ไมโครกรัมต่อลิตรจะแตกต่างจากกลุ่มอื่น ๆ ทุกกลุ่มอย่างมีนัยสำคัญยิ่ง (ตารางที่ 12) นอกจากนี้เมื่อนำค่าเฉลี่ยการตายของกุ้งแชบ๊วยวัยอ่อนในวันที่ทำการทดลองต่าง ๆ มาเปรียบเทียบกันพบว่าวันที่ 4 มีการตายมากที่สุด ถัดมาเป็นวันที่ 3, 5, 6, 2 และ 1 ตามลำดับ โดยวันที่ 4 มีค่าเฉลี่ยการตายมากกว่าวันที่ 6, 2 และ 1 อย่างมีนัยสำคัญยิ่ง (ตารางที่ 13)

ในระยะ 6 วันที่ทำการทดลองปรากฏว่ากุ้งแชบ๊วยวัยอ่อนมีการลอกคราบ 1 - 2 ครั้ง มีเวลาการตายต่าง ๆ กันคือ ตายก่อนการลอกคราบ ตายขณะลอกคราบรอบที่ 1 ตายหลังการลอกคราบรอบที่ 1 และตายในขณะลอกคราบรอบที่ 2 กลุ่มการทดลองต่าง ๆ มีเปอร์เซ็นต์กุ้งแชบ๊วยวัยอ่อนที่ตายตามเวลาดังกล่าวแตกต่างกัน (ตารางที่ 14 รูปที่ 19) จากกราฟที่นำเอาเปอร์เซ็นต์การตายมารวมกันทั้ง 6 วัน (รวมวันที่ 1 - 6) พบว่าขณะลอกคราบรอบที่ 1 ในกลุ่มควบคุมน้ำทะเล กลุ่มควบคุมอะซิโตน กลุ่มระดับความเข้มข้นสารไดฟลูเบนซูรอน 0.1 และ 0.3 ไมโครกรัมต่อลิตรมีการตายของกุ้งแชบ๊วยวัยอ่อนอยู่ในช่วง 5 - 30 เปอร์เซ็นต์ และการ

ตารางที่ 9 ข้อมูลของกิ่งแซบวัยอ่อนในกลุ่มการทดลองต่าง ๆ

วันที่ ทดลอง	OR ₁				OR ₂				OR ₃			
	ลอกกราบ		ไม่ลอกกราบ		ลอกกราบ		ไม่ลอกกราบ		ลอกกราบ		ไม่ลอกกราบ	
	ตาย	ไม่ตาย	ตาย	ไม่ตาย	ตาย	ไม่ตาย	ตาย	ไม่ตาย	ตาย	ไม่ตาย	ตาย	ไม่ตาย
1	-	-	-	20	-	-	-	20	-	-	-	20
2	-	-	-	20	-	-	-	20	-	-	1	19
3	-	9	1	10	1	6	2	11	-	5	-	14
4	-	6	-	13	-	7	1	9	-	8	2	9
5	-	4 + 4	-	11	-	4	-	12	-	4	-	13
6	1	2	-	16	-	3	-	13	-	2	-	15
รวม	ตาย 2		เหลือ 18		ตาย 4		เหลือ 16		ตาย 3		เหลือ 17	
AR ₁				AR ₂				AR ₃				
1	-	-	-	20	-	-	-	20	-	-	-	20
2	-	-	-	20	-	-	-	20	-	-	-	20
3	-	8	2	10	-	8	-	12	-	7	-	13
4	-	6	1	11	-	10	-	10	-	11	1	8
5	-	3 + 1	-	13	-	2 + 1	-	17	-	3	-	16
6	-	3	-	14	-	3	-	17	-	1	1	17
รวม	ตาย 3		เหลือ 17		ตาย 0		เหลือ 20		ตาย 2		เหลือ 18	
0.1 R ₁				0.1 R ₂				0.1 R ₃				
1	-	-	-	20	-	-	-	20	-	-	-	20
2	-	-	1	19	-	-	-	20	-	-	1	19
3	1	6	-	12	-	8	-	12	-	6	-	13
4	-	5	-	13	-	5	1	14	3	8	-	7
5	2	5 + 1	-	10	-	5 + 2	-	12	1	2 + 2	-	11
6	-	3	-	13	2	1 + 4	-	12	1	2	-	12
รวม	ตาย 4		เหลือ 16		ตาย 3		เหลือ 17		ตาย 6		เหลือ 14	
0.3 R ₁				0.3 R ₂				0.3 R ₃				
1	-	-	-	20	-	-	-	20	-	-	-	20
2	-	-	-	20	-	-	2	18	-	-	1	19
3	-	9	-	11	-	4	-	14	-	8	-	11
4	-	6	1	13	-	11	-	7	1	3	2	13
5	1 + 1	3 + 5	-	9	1	2 + 2	-	14	-	5 + 3	1	7
6	-	3	-	14	-	1 + 2	-	14	-	1	-	14
รวม	ตาย 3		เหลือ 17		ตาย 3		เหลือ 17		ตาย 5		เหลือ 15	

ตารางที่ 9 (ต่อ)

วันที่ ทดลอง	0.5 R ₁				0.5 R ₂				0.5 R ₃			
	ลอกคราบ		ไม่ลอกคราบ		ลอกคราบ		ไม่ลอกคราบ		ลอกคราบ		ไม่ลอกคราบ	
	ตาย	ไม่ตาย	ตาย	ไม่ตาย	ตาย	ไม่ตาย	ตาย	ไม่ตาย	ตาย	ไม่ตาย	ตาย	ไม่ตาย
1	-	-	-	20	-	-	-	20	-	-	-	20
2	-	-	1	19	-	-	-	20	-	-	-	20
3	1	9	-	9	1	4	-	15	2	6	-	12
4	2	5	-	11	3	8	-	8	6	6	-	6
5	1	1+3	-	11	2	2+2	-	10	-	3	1	8
6	3	1	1	10	-	-	-	14	1	-	-	10
รวม	ตาย 9		เหลือ 11		ตาย 6		เหลือ 14		ตาย 10		เหลือ 10	
0.7 R ₁				0.7 R ₂				0.7 R ₃				
1	-	-	-	20	-	-	-	20	-	-	-	20
2	-	-	-	20	-	-	-	20	-	-	-	20
3	6	4	-	10	5	7	-	8	7	4	-	9
4	4	4	-	6	3	4	-	8	2	1	-	10
5	2+4	-	-	4	-	1+4	-	7	1+1	-	-	9
6	-	-	2	1	2	-	1	9	4+1	-	1+1	2
รวม	ตาย 18		เหลือ 2		ตาย 11		เหลือ 9		ตาย 18		เหลือ 2	
1.0 R ₁				1.0 R ₂				1.0 R ₃				
1	-	-	-	20	-	-	-	20	-	-	-	20
2	-	-	-	20	-	-	-	20	-	-	-	-
3	3	1	-	16	7	-	-	13	2	4	-	13
4	7	2	-	8	7	-	-	6	6	1	2	8
5	4	-	-	6	5	-	1	-	6	-	3	-
6	1	-	2+3	-	-	-	-	-	-	-	-	-
รวม	ตาย 20		เหลือ 0		ตาย 20		เหลือ 0		ตาย 20		เหลือ 0	

R₁, R₂, R₃ : ชั้นที่ 1, 2, 3 ; 0 : กลุ่มควบคุมน้ำทะเล ; A : กลุ่มควบคุมอะซิโตน (ในปริมาณที่เตรียมความเข้มข้นของสารโคพอลิเมอร์ 1 ไมโครกรัมต่อลิตร) ; 0.1 - 1.0 ระดับความเข้มข้นของสารโคพอลิเมอร์ (ไมโครกรัมต่อลิตร) ; จำนวนทั้งหมดด้วยตัวเลขอื่น : กุ้งแช่บ๊วยอ่อนที่ผ่านการลอกคราบมาแล้ว 1 ครั้ง

ตารางที่ 10 จำนวนการตายของกุ้งแช่บ้วยอ่อนในกลุ่มต่าง ๆ ตั้งแต่วันที่ 1 - 6 ของการทดลอง

วันที่ ของการทดลอง	1			2			3			4			5			6			
	R ₁	R ₂	R ₃	R ₁	R ₂	R ₃	R ₁	R ₂	R ₃	R ₁	R ₂	R ₃	R ₁	R ₂	R ₃	R ₁	R ₂	R ₃	
0	-	-	-	-	-	1	1	3	-	-	1	1	2	-	-	1	-	-	-
A	-	-	-	-	-	2	1	-	-	1	-	1	1	-	-	-	-	-	1
0.1	-	-	-	1	-	1	1	-	-	-	1	1	3	2	1	-	2	1	1
0.3	-	-	-	-	2	1	-	-	-	1	1	3	2	2	1	-	1	-	-
0.5	-	-	-	1	-	1	1	1	2	2	2	3	6	1	2	1	4	-	1
0.7	-	-	-	-	-	6	5	7	7	4	3	2	2	6	2	2	3	7	7
1.0	-	-	-	-	-	3	7	2	2	7	7	8	4	6	9	6	-	-	-

R₁, R₂ และ R₃ : ซ้ำที่ 1, 2 และ 3 ; 0 : กลุ่มควบคุมน้ำทะเล ; A : กลุ่มควบคุมอะซิโตน (ใบปริมาณที่เตรียมความเข้มข้นของสารโคพอลูเบนซูรอน 1 ไมโครกรัมต่อลิตร) ; 0.1 - 1.0 : ระดับความเข้มข้นของสารโคพอลูเบนซูรอน (ไมโครกรัมต่อลิตร)

ตารางที่ 11 การวิเคราะห์ความแปรปรวนของค่าเฉลี่ยจำนวนการตายของกุ้งแช่บ๊วยวัยอ่อน

source of variation	df	SS	MS	F (คำนวณ)	F (ตาราง)	
					0.05	0.01
groups	6	152.651	25.442	15.951**	2.206	3.030
days	5	103.881	20.776	13.026**	2.324	3.240
interaction	30	164.397	5.480	3.436**	1.930	1.594
error	84	134.000	1.595			
total	125	554.929				

** : มีความแตกต่างกันอย่างมีนัยสำคัญ

ตารางที่ 12 การเปรียบเทียบค่าเฉลี่ยการตายของกุ้งแช่บ๊วยวัยอ่อนในกลุ่มการทดลองต่าง ๆ
โดยวิธี Duncan's new multiple range test

อันดับ	1	2	3	4	5	6	7
ค่าเฉลี่ย	3.333	2.667	1.389	0.722	0.611	0.5	0.278
กลุ่ม	1.0	0.7	0.5	0.1	0.3	0	A

กลุ่มที่ขีดเส้นใต้ไม่ต่อเนื่องกัน : มีความแตกต่างกันอย่างมีนัยสำคัญ

กลุ่มที่ขีดเส้นใต้ต่อเนื่องกัน : ไม่มีความแตกต่างกันอย่างมีนัยสำคัญ

ตารางที่ 13 การเปรียบเทียบค่าเฉลี่ยการตายของกุ้งแช่บ๊วยวัยอ่อนในวันที่การทดลองต่าง ๆ
โดยวิธี Duncan's new multiple range test

อันดับ	1	2	3	4	5	6
ค่าเฉลี่ย	2.619	1.952	1.810	1.381	0.381	0
วันที่	4	3	5	6	2	1

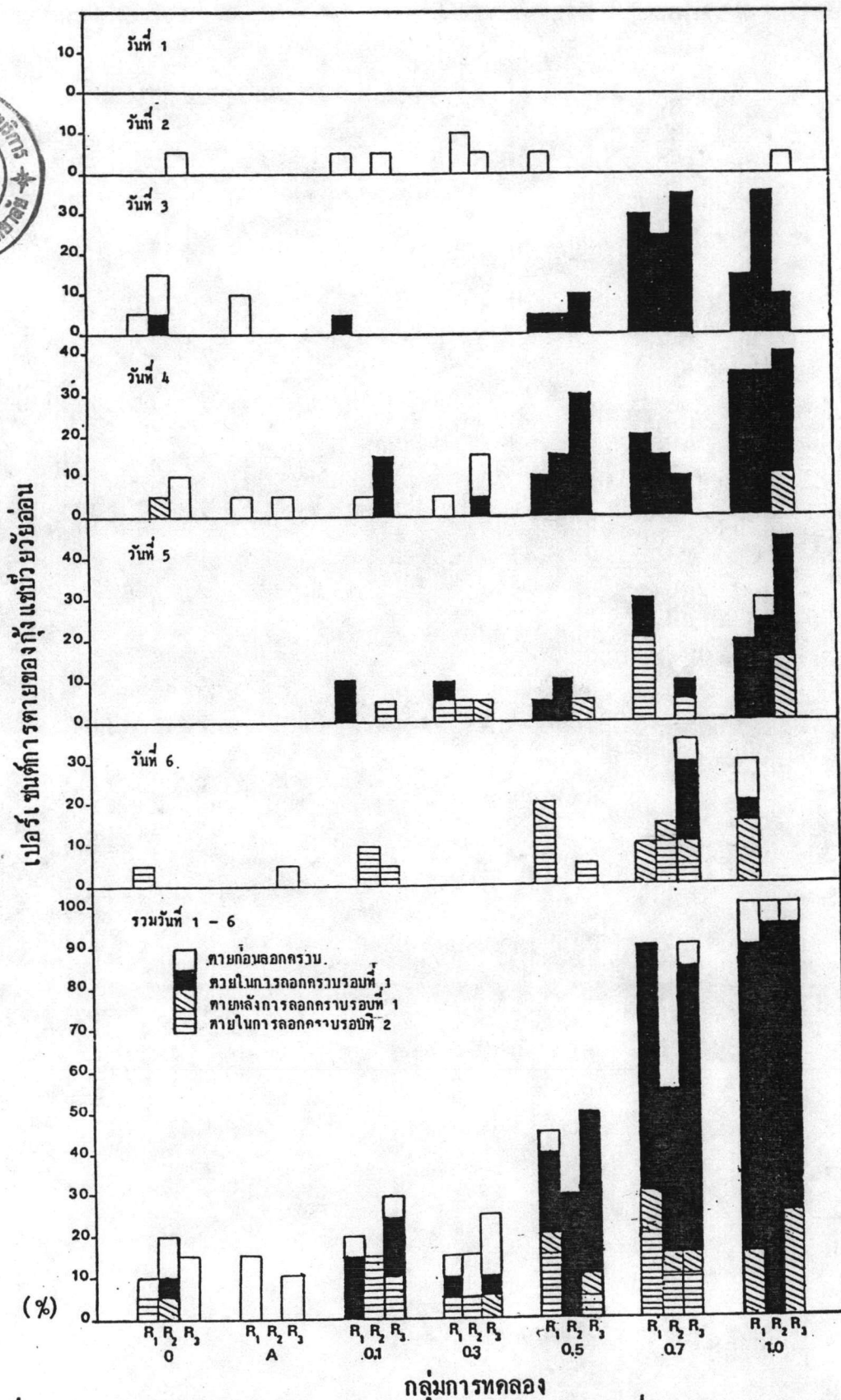
กลุ่มที่ขีดเส้นใต้ไม่ต่อเนื่องกัน : มีความแตกต่างกันอย่างมีนัยสำคัญ

กลุ่มที่ขีดเส้นใต้ต่อเนื่องกัน : ไม่มีความแตกต่างกันอย่างมีนัยสำคัญ

ตารางที่ 14 จำนวนและเปอร์เซ็นต์ของกึ่งแซ่วัยอ่อนเปรียบเทียบกับอัตราการตายและ
การตายขณะไม่ได้ลอกคราบที่เวลาต่าง ๆ

กลุ่ม	จำนวน (20 ตัว)									เปอร์เซ็นต์		
	ลอกคราบตาย			การตายขณะไม่ได้ลอกคราบ			ลอกคราบตาย			การตายขณะไม่ได้ลอกคราบ		
	R ₁	R ₂	R ₃	R ₁	R ₂	R ₃	R ₁	R ₂	R ₃	R ₁	R ₂	R ₃
0	1	1	-	1	2 + 1	3	5	5	-	5	10 + 5	15
A	-	-	-	3	-	2	-	-	-	15	-	10
0.1	3	2	3 + 2	1	1	1	15	10	15 + 10	5	5	15
0.3	1 + 1	1	1	1	2	3 + 1	5 + 5	5	5	5	10	15 + 5
0.5	4 + 3	6	8 + 1	1 + 1	-	1	20 + 15	30	40 + 5	5 + 5	-	5
0.7	12 + 4	8 + 2	14 + 2	2	1	1 + 1	60 + 20	40 + 10	70 + 10	10	5	5 + 5
1.0	15	19	14	2 + 3	1	1 + 5	75	95	70	10 + 15	5	5 + 25

R₁, R₂ และ R₃ : หน้าที่ 1, 2 และ 3 ; 0 : กลุ่มควบคุมน้ำทะเล; A : กลุ่มควบคุมอะซิโตน ; 0.1 - 1.0 :
ความเข้มข้นของสารโคเลสเตอรอล (ไมโครกรัมต่อลิตร) ; เลขอารบิกในช่องการตายขณะไม่ได้ลอกคราบ :
การตายก่อนการลอกคราบ ; เลขอารบิกในช่องลอกคราบตายคืออัตราการตายในขณะลอกคราบรอบที่ 1 ; ตัวเลขเอน
ในช่องการตายขณะไม่ได้ลอกคราบคืออัตราการตายหลังการลอกคราบรอบที่ 1 ; เลขตัวเอนในช่องลอกคราบตาย : การตาย
ในขณะลอกคราบรอบที่ 2 ; เลขตัวเอนทุกช่อง : กึ่งแซ่วัยอ่อนที่ผ่านการลอกคราบมาแล้ว 1 ครั้ง



รูปที่ 19 กราฟแท่งแสดงเปอร์เซ็นต์การตายของกุ้งแช่บิวัยอ่อนนที่เวลาต่าง ๆ (สัมพันธ์กับรอบการลอกคราบ) ตั้งแต่วันที่ 1 - 6 ของการทดลอง ; % : เปอร์เซ็นต์การตายของกุ้งแช่บิวัยอ่อนน ; R₁, R₂ และ R₃ : ข้ำของการทดลอง ; 0 : กลุ่มควบคุมน้ำทะเล ; A : กลุ่มควบคุมอะซิโตน ; 0.1 - 1.0 : ระดับความเข้มข้นของสารไทฟลูเบนซูรอน (ไมโครกรัมต่อลิตร)

ตารางที่ 15 จำนวนการตายของกึ่งแซบวัยย่อยอันจากการลอกคราบรอบที่ 1 ในกลุ่มต่าง ๆ ตั้งแต่ครั้งที่ 1 - 6 ของการทดลอง

วันที่ ของการทดลอง	1			2			3			4			5			6		
	R ₁	R ₂	R ₃	R ₁	R ₂	R ₃	R ₁	R ₂	R ₃	R ₁	R ₂	R ₃	R ₁	R ₂	R ₃	R ₁	R ₂	R ₃
0	0	0	0	0	0	0	0	0	1	0	0	0	0	0	0	0	0	0
A	0	0	0	0	0	0	0	0	0	0	0	0	0	0	0	0	0	0
0.1	0	0	0	0	0	0	1	0	0	0	0	0	0	0	1	2	0	0
0.3	0	0	0	0	0	0	0	0	0	0	0	0	0	0	1	1	0	0
0.5	0	0	0	0	0	0	1	1	1	2	2	3	6	1	1	2	0	0
0.7	0	0	0	0	0	0	6	5	7	7	4	3	2	2	0	0	0	4
1.0	0	0	0	0	0	0	3	7	2	7	7	7	6	4	5	6	1	0

R₁, R₂ และ R₃ ครั้งที่ 1, 2 และ 3 ; 0 : กลุ่มควบคุมแต่ละ ; A : กลุ่มควบคุมอะซิโตน (ในปริมาณที่เตรียม
 ความเข้มข้นของสารไพเพลูเบนซูรอน ; ไมโครกรัมต่อลิตร) ; 0.1 - 1.0 : ระดับความเข้มข้นของสารไพเพลูเบนซูรอน
 (ไมโครกรัมต่อลิตร)

ตารางที่ 16 การวิเคราะห์ความแปรปรวนของค่าเฉลี่ยจำนวนการตายในการลอกคราบครั้งที่ 1 ของกิ้งแช่บิววัยอ่อน

source of variation	df	SS	MS	F (คำนวณ)	F (ตาราง)	
					0.05	0.01
groups	6	120.524	20.087	3.348**	2.206	3.030
days	5	83.468	16.694	3.339**	2.324	3.240
interaction	30	156.81	5.227	0.174 ^{non}	1.930	1.594
errors	84	51.333	0.611			
total	125	412.135				

** : แตกต่างกันอย่างมีนัยสำคัญ, non : ไม่มีความแตกต่างกันอย่างมีนัยสำคัญ

ตารางที่ 17 การเปรียบเทียบค่าเฉลี่ยการตายของกิ้งแช่บิววัยอ่อนในการลอกคราบครั้งที่ 1 ในกลุ่มการทดลองต่าง ๆ โดยวิธี Duncan's new multiple range test

อันดับ	1	2	3	4	5	6	7
ค่าเฉลี่ย	2.667	1.889	1.000	0.222	0.111	0.056	0
กลุ่ม	1.0	0.7	0.5	0.1	0.3	0	A

กลุ่มที่ขีดเส้นใต้ไม่ต่อเนื่องกัน : มีความแตกต่างกันอย่างมีนัยสำคัญ
กลุ่มที่ขีดเส้นใต้ต่อเนื่องกัน : ไม่มีความแตกต่างกันอย่างมีนัยสำคัญ

ตารางที่ 18 การเปรียบเทียบค่าเฉลี่ยการตายของกิ้งแช่บิววัยอ่อนในการลอกคราบครั้งที่ 1 ในวันที่การทดลองต่าง ๆ โดยวิธี Duncan's new multiple range test

อันดับ	1	2	3	4	5	6
ค่าเฉลี่ย	2	1.714	1.143	0.238	0	0
วันที่	4	3	5	6	2	1

กลุ่มที่ขีดเส้นใต้ไม่ต่อเนื่องกัน : มีความแตกต่างกันอย่างมีนัยสำคัญ
กลุ่มที่ขีดเส้นใต้ต่อเนื่องกัน : ไม่มีความแตกต่างกันอย่างมีนัยสำคัญ

ตารางที่ 19 การวิเคราะห์ความแปรปรวนของค่าเฉลี่ยจำนวนการตายก่อนการลอกคราบ
 รอบที่ 1, การตายหลังการลอกคราบรอบที่ 1 และการตายในการลอกคราบ
 รอบที่ 2 ของกุ้งแช่บ๊วยวัยอ่อนในกลุ่มการทดลองต่าง ๆ

เวลา การตาย	source of variation	df	SS	MS	F (จำนวน)	F (ตาราง)	
						0.05	0.01
การตาย ก่อนการลอกคราบรอบที่ 1	groups	6	1.556	0.259	1.020 ^{non}	2.206	3.030
	days	5	3.588	0.718	2.827 [*]	2.324	3.240
	interaction	30	9.299	0.310	1.220 ^{non}	1.930	1.594
	errors	84	21.335	0.254			
	total	125					
การตาย หลังการลอกคราบรอบที่ 1	groups	6	2.984	0.497	2.088 ^{non}		
	days	5	3.182	0.636	2.672 ^{**}		
	interaction	30	8.540	0.285	1.197 ^{non}		
	errors	84	20.000	0.238			
	total	125	34.746				
การตาย ในการลอกคราบรอบที่ 2	groups	6	2.746	0.458	1.991 ^{non}		
	days	5	5.945	1.189	5.170 ^{**}		
	interaction	30	10.111	0.337	1.465 ^{non}		
	errors	84	19.333	0.230			
	total	125	38.135				

** : แยกต่างกันอย่างมีนัยสำคัญยิ่ง, * : แยกต่างกันอย่างมีนัยสำคัญ

non : ไม่มีความแตกต่างกันอย่างมีนัยสำคัญ

ตารางที่ 20 จำนวนของกุ้งแช่บ๊วยวัยอ่อนที่ตายในลักษณะต่าง ๆ

กลุ่ม	ลอกคราบไม่ออก เปลือกคิค carapace	ลอกคราบไม่ออก เปลือกคิคอยู่ทั้งตัว	ตายสัปดาห์ในน้ำที่ พยายามลอกคราบ	ลอกคราบออกตาย	ลอกคราบลอกตาย ลักษณะคังอ
0	R ₁	1	-	-	-
	R ₂	-	-	1	-
	R ₃	-	-	-	-
A	R ₁	-	-	-	-
	R ₂	-	-	-	-
	R ₃	-	-	-	-
0.1	R ₁	1	-	1	-
	R ₂	1	-	-	1
	R ₃	4	-	-	-
0.3	R ₁	1	-	1	-
	R ₂	-	-	1	-
	R ₃	1	-	-	-
0.5	R ₁	4	1	1	-
	R ₂	2	-	2	-
	R ₃	4	-	3	-
0.7	R ₁	9	4	1	-
	R ₂	5	-	4	-
	R ₃	11	1	3	-
1.0	R ₁	7	2	6	-
	R ₂	7	-	10	1
	R ₃	7	-	6	-

0 : กลุ่มควบคุมน้ำทะเล ; A : กลุ่มควบคุมอะซิโตน ; 0.1 - 1.0 : ระดับความเข้มข้นของสารโคฟลูเบนซูรอน (ไมโครกรัมต่อลิตร) ; R₁, R₂ และ R₃ : ซ้ำของการทดลอง

ตายของกุ้งแชบ๊วยวัยอ่อนขณะลอกคราบครั้งที่ 1 เพิ่มมากขึ้นเป็นลำดับจากกลุ่มระดับความเข้มข้นสารไดฟลูเบนซูรอน 0.5 - 1.0 ไมโครกรัมต่อลิตร เมื่อนำข้อมูลการตายจากการลอกคราบครั้งที่ 1 ของกุ้งแชบ๊วยวัยอ่อนในกลุ่มการทดลองต่าง ๆ (ตารางที่ 15) มาวิเคราะห์ทางสถิติพบว่ามีความแตกต่างกันอย่างมีนัยสำคัญยิ่งทั้งในระหว่างกลุ่มทดลองต่าง ๆ และแต่ละวันของการทดลอง (ตารางที่ 16) และจากการนำมาเปรียบเทียบเป็นคู่ ๆ โดยใช้ Duncan's new multiple range test พบว่าในกลุ่มควบคุมน้ำทะเล กลุ่มควบคุมอะซิโตน กลุ่มของสารไดฟลูเบนซูรอนที่ระดับความเข้มข้น 0.1 และ 0.3 ไมโครกรัมต่อลิตรมีเปอร์เซ็นต์การตายในการลอกคราบครั้งที่ 1 ไม่แตกต่างกัน แต่จะแตกต่างกันอย่างมีนัยสำคัญยิ่งเมื่อนำไปเปรียบเทียบกับกลุ่มของสารไดฟลูเบนซูรอนที่ระดับความเข้มข้น 0.5, 0.7 และ 1.0 ไมโครกรัมต่อลิตร (ตารางที่ 17) นอกจากนี้เมื่อนำข้อมูลเปอร์เซ็นต์การตายของกุ้งแชบ๊วยวัยอ่อนในการลอกคราบครั้งที่ 1 มาแยกตามวันที่ทำการทดลอง พบว่ากุ้งแชบ๊วยวัยอ่อนมีการตายมากที่สุดในวันที่ 4 ซึ่งเป็นวันที่กุ้งแชบ๊วยวัยอ่อนมีรอบของการลอกคราบเป็น 3 วัน รองลงมาคือ วันที่ 3, 5, 6, 2 และ 1 ตามลำดับ โดยวันที่ 4 แตกต่างจากวันที่ 5, 6, 2 และ 1 อย่างมีนัยสำคัญยิ่ง สำหรับวันที่ 3 จะแตกต่างจากวันที่ 5 อย่างมีนัยสำคัญและแตกต่างจากวันที่ 6, 2 และ 1 อย่างมีนัยสำคัญยิ่ง (ตารางที่ 18) ส่วนการตายก่อนการลอกคราบรอบที่ 1 การตายหลังการลอกคราบรอบที่ 1 และการตายในการลอกคราบรอบที่ 2 ในกลุ่มการทดลองทั้ง 7 กลุ่มไม่แตกต่างกัน (ตารางที่ 19)

ผลของสารไดฟลูเบนซูรอนนอกจากทำให้กุ้งแชบ๊วยวัยอ่อนตายสัมพันธ์กับการลอกคราบในเวลาต่าง ๆ ดังกล่าวแล้ว ยังทำให้กุ้งแชบ๊วยวัยอ่อนตายขณะลอกคราบในลักษณะต่าง ๆ กันด้วย เช่น การตายเพราะลอกคราบไม่ออกเปลือกติดอยู่บริเวณ carapace ลอกคราบไม่ออกเปลือกติดอยู่ที่ทั้งตัว ตายตัวบิดในท่าที่พยายามลอกคราบ ลอกคราบออกแล้วตาย และลอกคราบออกตายในลักษณะบิดตัว โดยส่วนใหญ่ในกลุ่มระดับความเข้มข้น 0.5, 0.7 และ 1.0 ไมโครกรัมต่อลิตร จะเป็นการตายเพราะลอกคราบไม่ออกพบเปลือกติดอยู่ที่ carapace (ตารางที่ 20)

1.4 การศึกษาเบื้องต้นโครงสร้างเปลือกกุ้งแชบ๊วยวัยอ่อนในระยะต่าง ๆ ของรอบการลอกคราบ

1.4.1 การศึกษาโครงสร้างเปลือกกุ้งแชบ๊วยวัยอ่อนในระดับกล้องจุลทรรศน์ธรรมดา จากผลการทดลองในข้อ 1.2 กุ้งแชบ๊วยวัยอ่อนมีเวลาของรอบการลอกคราบ 2 - 5 วัน โดยมีเวลาของรอบการลอกคราบมากที่สุดที่ 2 และ 3 วัน ดังนั้นในการทดลองนี้จึงเลือกเวลาของการลอกคราบ 3 วันมากำหนดระยะต่าง ๆ ของรอบการลอกคราบ เริ่มจากกุ้งแชบ๊วยวัยอ่อนที่

เฟื่องลอกคราบนำมากำหนดช่วงเวลาให้ห่างกัน 6 ชั่วโมงจะได้ 13 ระยะได้แก่ระยะ 0, 6, 12, 18, 24, 30, 36, 42, 48, 54, 60, 66 และ 72 จากผลการศึกษาด้วยกล้องจุลทัศน์ธรรมดาปรากฏว่าทั้ง 13 ระยะมีโครงสร้างเหมือนกันคือมีชั้น epicuticle, exocuticle และ endocuticle และจากการสังเกตขณะทำการเก็บตัวอย่างพบว่ากิ่งช้ำวัยวัยอ่อนจะลอกคราบระหว่างช่วงเวลา 24.00 น. ถึง 06.00 น. เท่านั้น ดังนั้นในการทดลองครั้งที่ 2 ซึ่งจะเลี้ยงกิ่งช้ำวัยวัยอ่อนในสารไดฟลูเบนซอรอนที่ความเข้มข้นต่าง ๆ เพื่อศึกษาผลของสารไดฟลูเบนซอรอนต่อโครงสร้างเปลือกกิ่งช้ำวัยวัยอ่อนซึ่งจะกล่าวถึงในหัวข้อ 2.0 จึงได้แบ่งระยะระหว่างเวลา 24.00 ถึง 06.00 น. ให้ละเอียดยิ่งขึ้นและตัดบางระยะที่มีโครงสร้างเหมือนกันออกไปได้เป็นระยะ 24, 48, 67.5, 68.0, 68.5, 69.0, 69.5, 70.0, 70.5 และ 71 (รายละเอียดการแบ่งระยะอยู่ในหัวข้อ 1.4 ของบทที่ 2) จากผลการศึกษาตามระยะดังกล่าวพบว่าโครงสร้างเปลือกกิ่งช้ำวัยวัยอ่อนมีความแตกต่างกันอยู่ 3 แบบด้วยกันคือ

ก. ระยะหลังการลอกคราบ ระยะที่เปลือกกิ่งช้ำวัยวัยอ่อนบางที่สุดเนื่องจากเนื่องจากการลอกคราบมาใหม่ ๆ ในระยะนี้จะเห็นชั้น epicuticle, exocuticle และ endocuticle ครบทุกชั้น อย่างไรก็ตามความหนาของเปลือกในระยะนี้มีความแตกต่างกันบ้างเพราะกิ่งช้ำวัยวัยอ่อนลอกคราบไม่พร้อมกันทำให้ระยะเวลาหลังการลอกคราบของกิ่งช้ำวัยแต่ละตัวไม่เท่ากัน (ภาพที่ 1)

ข. ระยะระหว่างการลอกคราบ ระยะที่เปลือกกิ่งช้ำวัยวัยอ่อนมีความหนามากที่สุดและมีชั้นต่าง ๆ ได้แก่ ชั้น epicuticle exocuticle และ endocuticle ครบทุกชั้น (ภาพที่ 3)

ค. ระยะก่อนการลอกคราบ ระยะที่เปลือกกิ่งช้ำวัยวัยอ่อนซ้อนกันเนื่องจากมีการสร้างเปลือกใหม่อยู่ที่เปลือกเก่า โดยเปลือกเก่าจะมีชั้น epicuticle, exocuticle และ endocuticle ครบทุกชั้นแต่ชั้น endocuticle ของเปลือกเก่าจะหนาน้อยลงกว่าระยะในข้อ ข. สำหรับเปลือกใหม่ในระดับกล้องจุลทัศน์ธรรมดานี้จะเห็นเฉพาะชั้น epicuticle และชั้น exocuticle เท่านั้น (ภาพที่ 2)

สำหรับคุณสมบัติการติดสีในเทคนิคการย้อมต่าง ๆ ได้แก่ hematoxylin & eosin, การทดสอบด้วย PAS, Mallory triple stain และ Masson trichrome stain นั้น ปรากฏว่าการย้อมด้วย hematoxylin & eosin ติดสีคล้ายกับการทดสอบด้วย PAS แต่ PAS จะให้สีชมพูปนแดงชัดเจน (PAS⁺) ในบริเวณที่มี polysaccharides เป็นส่วนประกอบ และการย้อมด้วย Mallory triple stain ติดสีคล้ายกับการย้อมด้วย Masson trichrome

stain ซึ่งจะกล่าวในรายละเอียดของการย้อมสี (ตารางที่ 21 และภาพที่ 3) และความหนาของชั้นต่าง ๆ (ตารางที่ 22) ดังต่อไปนี้

ชั้น epicuticle เมื่อย้อมด้วย H & E และทดสอบด้วย PAS จะมีสีม่วงอมชมพูและชมพูปนแดงตามลำดับ ถ้าย้อมด้วย Mallory triple stain และ Masson trichrome stain epicuticle จะติดสีน้ำเงิน ในระยะหลังการลอกคราบไม่สามารถแยกความแตกต่างของชั้น epicuticle จากชั้น exocuticle ได้เนื่องจากเปลือกในระยะนี้บางมาก โดยมี ความหนาเฉลี่ยของชั้นทั้งสองรวมกันเท่ากับ 0.446 ไมโครเมตร เมื่อเข้าสู่ระยะระหว่างการลอกคราบความหนาของเปลือกกุ้งแซบวัยอ่อนเพิ่มขึ้นทำให้สามารถแยกความแตกต่างของชั้น epicuticle และชั้น exocuticle ได้ ชั้น epicuticle ในระยะนี้มีความหนาเท่ากับ 0.572 ไมโครเมตร ในระยะก่อนการลอกคราบจะมีการซ้อนกันของเปลือกโดยเปลือกใหม่จะ สร้างอยู่ใต้เปลือกเก่า และทั้งเปลือกใหม่และเปลือกเก่าก็ไม่สามารถเห็นความแตกต่างของชั้น epicuticle เช่นเดียวกัน

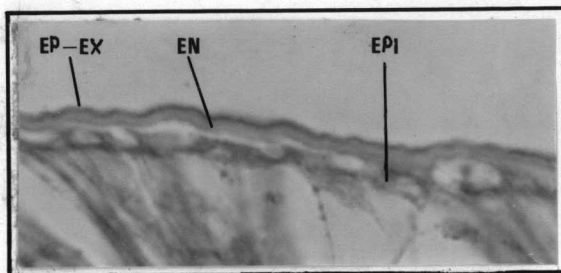
ชั้น exocuticle เป็นชั้นที่อยู่ถัดจากชั้น epicuticle เมื่อย้อมด้วย H & E และทดสอบด้วย PAS จะมีสีน้ำเงินเข้ม ถ้าย้อมด้วย Mallory triple stain และ Masson trichrome stain จะติดสีฟ้าเข้ม ชั้น exocuticle มีความหนามากกว่าชั้น epicuticle ในระยะหลังการลอกคราบและก่อนการลอกคราบจะไม่สามารถแยกความแตกต่างออกจากชั้น epicuticle ได้ ส่วนในระยะระหว่างการลอกคราบชั้น exocuticle มีความหนา 1.336 ไมโครเมตร ส่วนในระยะก่อนการลอกคราบเปลือกเก่าจะมีความหนาของชั้น epicuticle และชั้น exocuticle รวมกันเท่ากับ 0.822 ไมโครเมตร และเปลือกใหม่หนา 0.680 ไมโครเมตร

ชั้น endocuticle อยู่ใต้ชั้น exocuticle เมื่อย้อมด้วย H & E และทดสอบด้วย PAS จะติดสีชมพูจางและชมพู ถ้าย้อมด้วย Mallory triple stain และ Masson trichrome stain จะติดสีฟ้าอ่อน ชั้น endocuticle มีความหนามากกว่าชั้นอื่น ๆ ในระยะ หลังการลอกคราบใหม่ ๆ ชั้น endocuticle มีความหนาน้อยกว่าระยะอื่นคือมีความหนา 0.893 ไมโครเมตร เมื่อเข้าสู่ระยะระหว่างการลอกคราบชั้น endocuticle มีความหนามากขึ้นเป็น 2.223 ไมโครเมตร ส่วนในระยะก่อนการลอกคราบเปลือกเก่ามีชั้น endocuticle ที่มีความหนา 1.446 ไมโครเมตร ซึ่งหนาน้อยกว่าระยะระหว่างการลอกคราบ

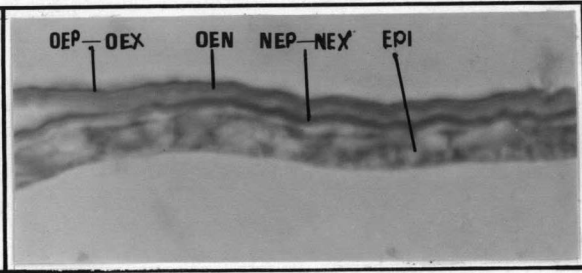
สำหรับชั้นของเซลล์เยื่อผิว (epidermis) เมื่อย้อมด้วย H & E และทดสอบด้วย PAS nucleus จะติดสีน้ำเงินเข้มและสีน้ำเงิน cytoplasm จะติดสีชมพู ถ้าย้อมด้วย

- ภาพที่ 1 โครงสร้างเปลือกกุ้งแช่บิวย้วยอ่อนในระยะหลังการลอกคราบ ทำปฏิกิริยากับ Periodic Acid/Schiff (PAS) กำลังขยาย X 100
- ภาพที่ 2 โครงสร้างเปลือกกุ้งแช่บิวย้วยอ่อนในระยะก่อนการลอกคราบ ทำปฏิกิริยากับ Periodic Acid/Schiff (PAS) กำลังขยาย X 100
- ภาพที่ 3 โครงสร้างเปลือกกุ้งแช่บิวย้วยอ่อนในระยะระหว่างการลอกคราบ กำลังขยาย X 100
- 3.1 ย้อมด้วย hematoxylin & eosin
 - 3.2 ทำปฏิกิริยากับ Periodic Acid/Schiff (PAS)
 - 3.3 ย้อมด้วย Mallory triple stain
 - 3.4 ย้อมด้วย Masson trichrome stain
- ภาพที่ 4, 5 และ 6 ภาพโครงสร้างเปลือกในระยะหลังการลอกคราบ ระยะระหว่างการลอกคราบและระยะก่อนการลอกคราบของกุ้งแช่บิวย้วยอ่อนที่เลี้ยงในสารไดฟลูเบนซูรอน ทำปฏิกิริยากับ Periodic Acid/Schiff (PAS) กำลังขยาย X 100

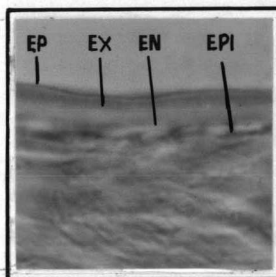
หมายเหตุ :- EP-EX : ชั้น epicuticle และชั้น exocuticle ที่ไม่สามารถแยกความแตกต่างได้ ; EN : ชั้น endocuticle ; EPI : ชั้นของเซลล์เยื่อผิว ; OEP-OEX : ชั้น epicuticle และชั้น exocuticle ของเปลือกเก่าที่ไม่สามารถแยกความแตกต่างได้ ; NEP-NEX : ชั้น epicuticle และชั้น exocuticle ของเปลือกใหม่ที่ไม่สามารถแยกความแตกต่างได้ ; EP : ชั้น epicuticle ; EX : ชั้น exocuticle



1



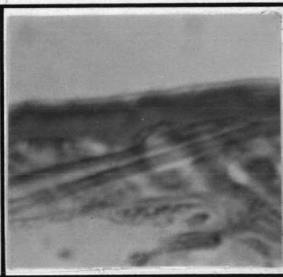
2



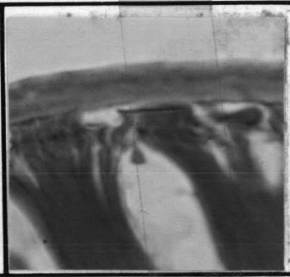
31



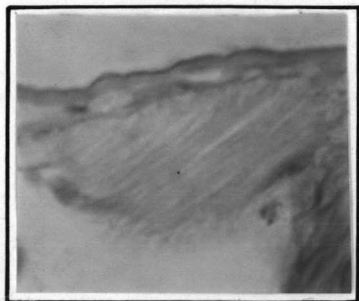
32



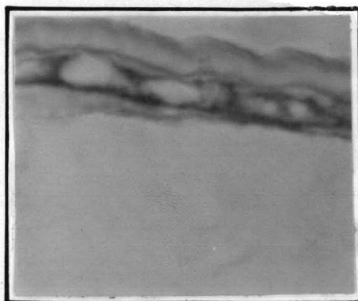
33



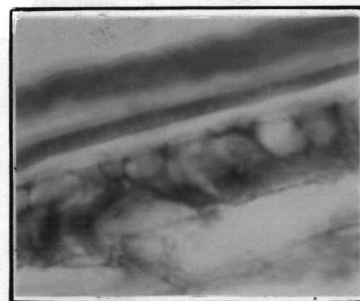
34



4



5



6

ตารางที่ 21 คุณสมบัติในการย้อมสีของ เปลือกกุ้งแช่บ๊วยวัยอ่อนที่ย้อมด้วยวิธีต่าง ๆ

ชนิดของ การย้อมสี	ชั้น				
	epicuticle	exocuticle	endocuticle	epidermis	
				nucleus	cytoplasm
H & E	ม่วง เข้มปนชมพู	น้ำเงินเข้ม	ชมพูจาง	น้ำเงินเข้ม	ชมพู
PAS	ชมพูปนแดง	น้ำเงินเข้ม	ชมพู	น้ำเงิน	ชมพู
Mallory triple stain	น้ำเงิน	ฟ้าเข้ม	ฟ้าอ่อน	แดง	ชมพู
Masson trichrome stain	น้ำเงิน	ฟ้าเข้ม	ฟ้าอ่อน	ม่วงอมน้ำเงิน	ชมพูอมม่วง

ตารางที่ 22 ความหนาของชั้นต่าง ๆ ในเปลือกและชั้นของเซลล์ผิวหนังในกุ้งแช่บ๊วยวัยอ่อน

ระยะ	ค่าเฉลี่ยความหนาของชั้นต่าง ๆ (ไมโครเมตร)			
	epicuticle	exocuticle	endocuticle	epidermins
ก	0.446		0.893	2.083
ข	0.572	1.336	2.223	2.211
ค	เก่า 0.822 ใหม่ 0.680		เก่า 1.446	3.954

- ก : ระยะหลังการลอกคราบ
 ข : ระยะระหว่างการลอกคราบ
 ค : ระยะก่อนการลอกคราบ

Mallory triple stain และ Masson trichrome stain nucleus จะติดสีแดงและม่วง
 อมน้ำเงิน cytoplasm จะติดสีชมพูอมม่วง ในระยะหลังการลอกคราบเซลล์เยื่อผิว หนา 2.083
 ไมโครเมตร เมื่อเข้าสู่ระยะระหว่างการลอกคราบความหนาไม่เปลี่ยนแปลงมากนักคือเท่ากับ
 2.211 ไมโครเมตร และในระยะก่อนการลอกคราบความหนาของเซลล์เยื่อผิวมากขึ้นเป็น
 3.954 ไมโครเมตร

1.4.2 การศึกษาโครงสร้างเปลือกกุ้งแช่บิวยัยอ่อนในระดับกล้องจุลทรรศน์อิเล็กตรอน
 ได้เก็บตัวอย่างกุ้งแช่บิวยัยอ่อนในระยะต่าง ๆ เหมือนกับการศึกษาภายใต้กล้องจุลทรรศน์ธรรมดา
 แต่แตกต่างกันในระยะสุดท้ายคือการศึกษาภายใต้กล้องจุลทรรศน์ธรรมดาเก็บถึงระยะ 71 แต่ใน
 ตัวอย่างของกล้องจุลทรรศน์อิเล็กตรอนเปลี่ยนเป็นระยะ 72 เนื่องจากต้องการภาพโครงสร้างเปลือก
 หลังการลอกคราบแล้วเป็นเวลานานขึ้น เพื่อจะได้เห็นความแตกต่างของโครงสร้างเปลือก
 เนื่องจากผลของสารไดฟลูเบนซอรอนในระยะต่าง ๆ ได้อย่างชัดเจน สำหรับจำนวนที่เก็บตัวอย่าง
 ของกลุ่มควบคุมในการศึกษาโครงสร้างเปลือกเก็บระยะละ 10 ตัว (ซึ่งเป็นจำนวนน้อยกว่า
 ที่กำหนดไว้ คือ 20 ตัว เนื่องจากกุ้งแช่บิวยัยอ่อนมีจำนวนตัวที่ลอกคราบต่ำในวันที่เริ่มการ
 ทดลอง) สำหรับการเก็บตัวอย่างกุ้งแช่บิวยัยที่เป็นกลุ่มควบคุมในแต่ละระยะจะมีจำนวนกุ้งแช่บิวยัย
 ว่ายอ่อนที่ลอกคราบแล้วและกุ้งแช่บิวยัยอ่อนที่ยังไม่ได้ลอกคราบต่างกันคือในระยะแรก ๆ 67.5 C -
 69.5C แต่ละระยะมีกุ้งแช่บิวยัยอ่อนที่ลอกคราบแล้ว 2 - 4 ตัว แต่ในระยะหลัง ๆ 70 C -
 72 C แต่ละระยะมีกุ้งแช่บิวยัยอ่อนที่ลอกคราบแล้วมากขึ้นคือ 5 - 7 ตัว (ตารางที่ 23)
 นอกจากนี้ในการเก็บตัวอย่างจากกลุ่มควบคุมพบว่ากุ้งแช่บิวยัยอ่อนว่ายน้ำได้รวดเร็วจับมาเตรียม
 ตัวอย่างค่อนข้างยาก

ตารางที่ 23 จำนวนกุ้งแช่บิวยัยอ่อนที่ลอกคราบแล้วและยังไม่ได้ลอกคราบที่ระยะต่าง ๆ

ระยะ	67.5 C	68 C	68.5 C	69 C	69.5 C	70 C	70.5 C	72 C
ลอกคราบแล้ว	4	2	4	4	3	5	6	7
ไม่ลอกคราบ	6	8	6	6	7	5	4	3

C : กุ้งแช่บิวยัยอ่อนในกลุ่มควบคุม (control)

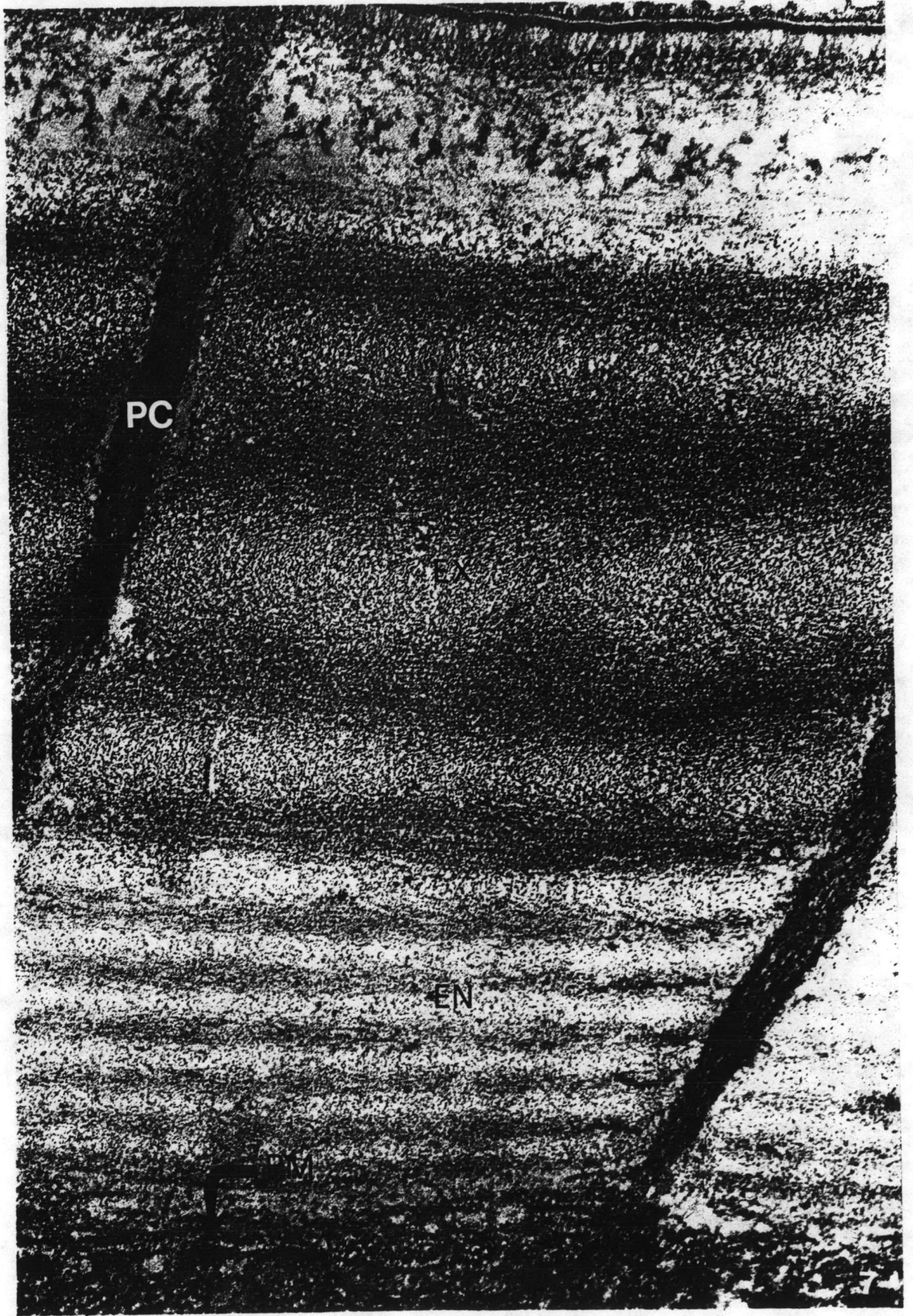
และเนื่องจากกิ่งแซบวัยอ่อนแต่ละตัวมีรอบการลอกคราบต่างกัน ทำให้โครงสร้างของเปลือกแตกต่างกันไปด้วยถึงแม้ว่าจะอยู่ในช่วงเวลาเดียวกัน โครงสร้างเปลือกจึงไม่สัมพันธ์กับช่วงระยะเวลาที่ได้กำหนดไว้ตั้งแต่ต้น จึงจะรายงานโครงสร้างของเปลือกเป็นระยะต่าง ๆ ดังต่อไปนี้

ก. ระยะหลังการลอกคราบ (ภาพ 7) ในระยะนี้มีชั้น epicuticle, exocuticle และ endocuticle เปลือกทั้งหมดมีความหนา 1.946 ไมโครเมตร epicuticle หนา 0.30 ไมโครเมตร (ภาพ 9) โดยชั้นย่อยในชั้น epicuticle มี 6 ชั้น ชั้นนอกสุดเป็นชั้นที่บางที่สุดมีลักษณะไม่เรียบเนื่องจากมี electron dense กลุ่มเล็ก ๆ ทำให้เห็นเป็นสีเข้มมาเชื่อมกันตลอด ชั้นต่อมามีสีจางเกือบขาว (electron lucent) ชั้นที่สามมีสีเข้ม (electron dense) เป็นแถบและมีความหนาค่อนข้างจะคงที่ ชั้นที่ 4 เป็นสีจาง (electron lucent) และมีเส้นใยจากชั้นที่ 3 และชั้นที่ 5 ยื่นเข้ามาในบางบริเวณ ชั้นที่ 5 มีเส้นใยเรียงกันอย่างไม่เป็นระเบียบ มีความหนาแน่นของเส้นใยมากกว่าชั้นที่ 6 โดยชั้นที่ 6 จะหนาที่สุดและมีกลุ่ม electron dense กระจายอยู่ทั่วไป ต่อจากชั้นย่อยที่ 6 ของชั้น epicuticle เป็นชั้น exocuticle มีความหนา 0.946 ไมโครเมตร ซึ่งปรากฏเป็นสีเข้มและจางสลับกันโดยวางตัวขนานกันและมีลักษณะเป็นชั้นย่อยตามแนวนอน (lamellar) จำนวน 8 ชั้น ความหนาของชั้นย่อยช่วงกลางจะหนากว่าชั้นย่อยที่อยู่ด้านนอก และเมื่อใช้กำลังขยายสูง (ภาพ 10) ในชั้นย่อยซึ่งมีสีจางจะพบ microfibrils ที่ ถูกตัดตามขวางเห็นเป็นจุดเล็ก ๆ มองดูคล้ายกับการเรียงตัวในลักษณะโค้ง โดยปลายทั้งสองมาเชื่อมกับชั้นย่อยสีเข้มที่ขนานอยู่ทั้ง 2 ข้าง ต่อมาเป็นชั้น endocuticle มีความหนา 0.595 ไมโครเมตร (ภาพ 7 และ 8) จะเห็นความแตกต่างของชั้น exocuticle และชั้น endocuticle อย่างชัดเจนเนื่องจากชั้น exocuticle มีสีเข้มกว่าและมีชั้นย่อยที่หนากว่า โดยชั้นย่อยของชั้น endocuticle จะมีความหนาใกล้เคียงกันแต่มีจำนวนชั้นย่อยมากกว่าคือมีประมาณ 10 ชั้น (ภาพ 7)

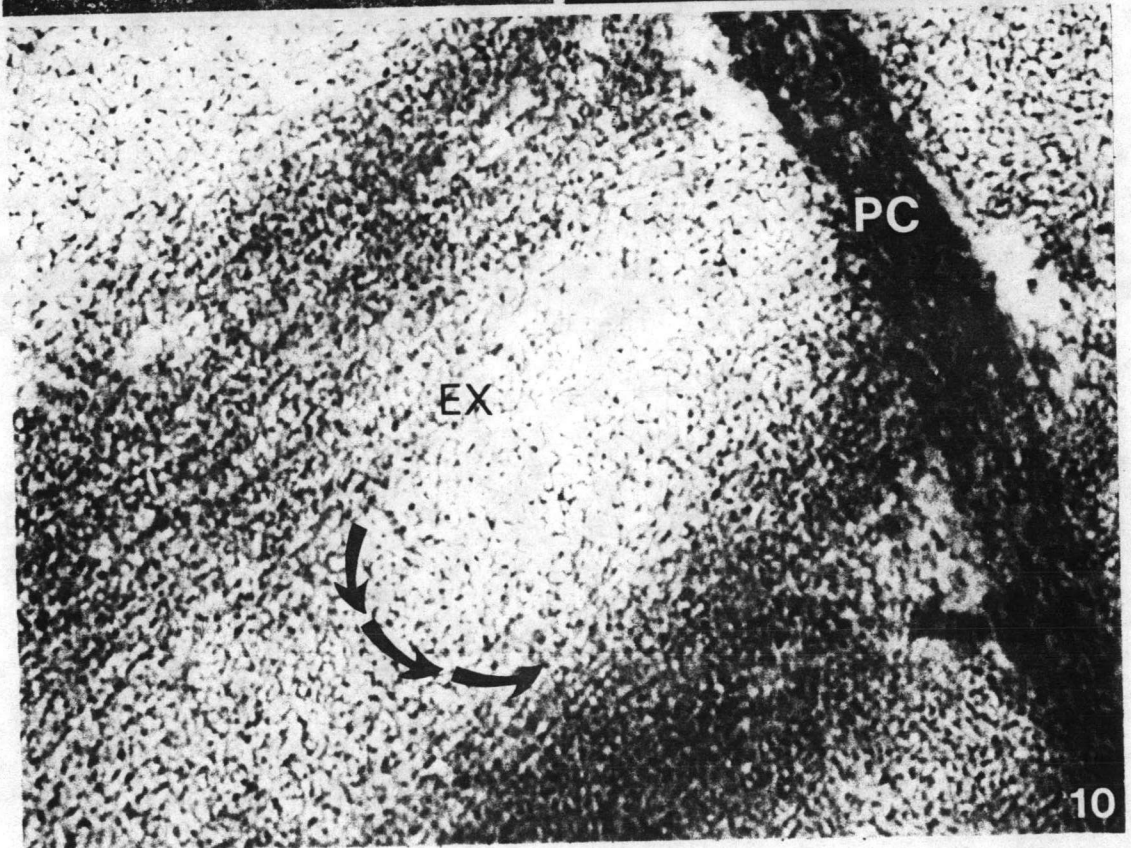
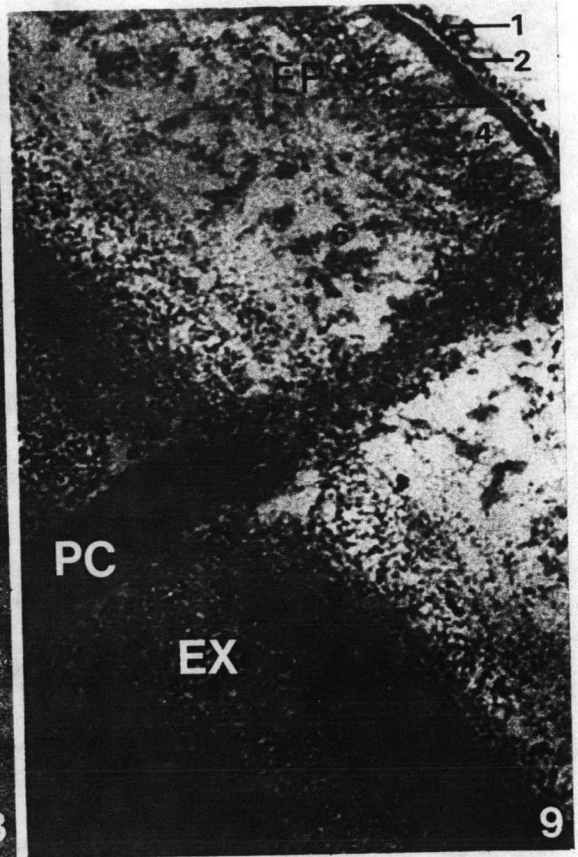
ข. ระยะระหว่างการลอกคราบ เป็นระยะโครงสร้างเปลือกที่มีชั้น endocuticle หนามากขึ้น เริ่มสร้างชั้น membranous layer แต่ยังไม่มีย molting fluid (ภาพ 11) ในระยะนี้เปลือกจะหนาตัวขึ้นมากเป็น 3.0 ไมโครเมตร

ค. ระยะก่อนการลอกคราบ เป็นระยะที่มีโครงสร้างเปลือกครบสมบูรณ์และมีการแยกของเปลือกออกจากเซลล์ผิวหนัง (epidermal cell) ในระยะนี้จะมีโครงสร้างเปลือกครบทุกชั้นคือ epicuticle, exocuticle, endocuticle และ membranous layer ซึ่งมีความหนา

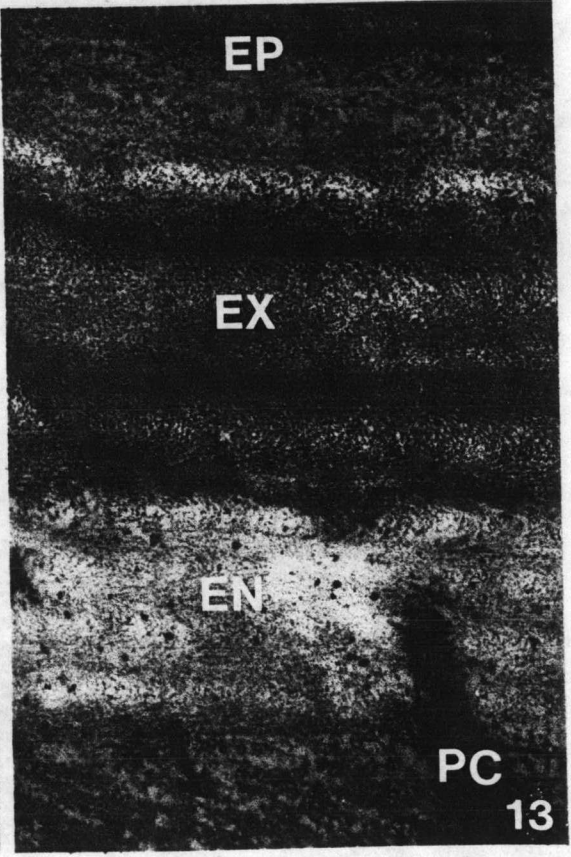
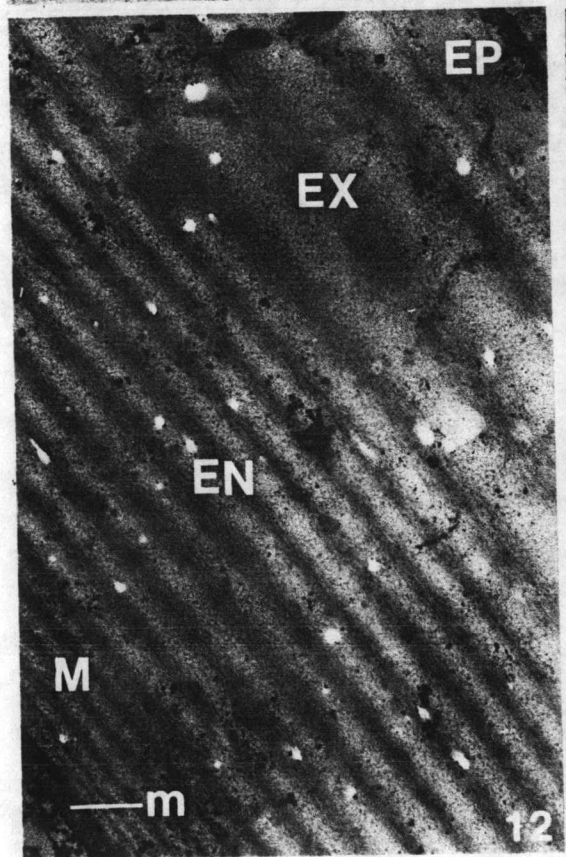
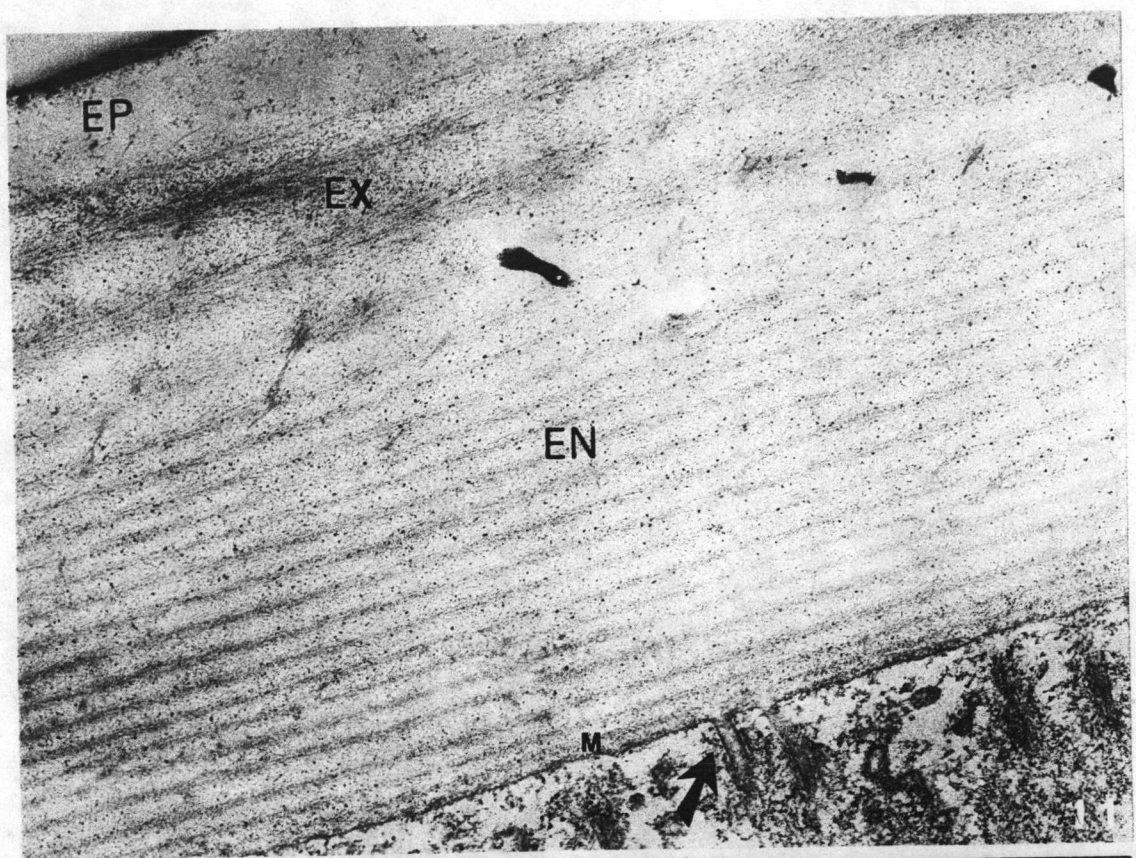
ภาพ 7 ภาพโครงสร้างเปลือกกุ้งแช่บ๊วยวัยอ่อนระยะหลังการลอกคราบ ชั้น epicuticle
อยู่นอกสุดมีชั้นย่อย 6 ชั้น ถัดมาเป็นชั้น exocuticle และ endocuticle ซึ่งมี
ชั้นย่อยสลับกันระหว่างสีเข้มและสีจาง มี pore canal ซึ่งมีต้นกำเนิดมาจากเซลล์
เยื่อผิวหนังชั้น endocuticle และชั้น exocuticle ไปเปิดที่ epicuticle
ชั้นย่อยที่ 3 (EP : epicuticle; EX : exocuticle; EN : endocuticle;
PC : pore canal และ PM : plasma membrane plaques) กำลังขยาย
114,000 เท่า



- ภาพที่ 8 ภาพโครงสร้างเปลือกกุ้งแช่บ๊วยวัยอ่อนระยะหลังการลอกคราบ มีชั้น epicuticle, exocuticle และชั้น endocuticle ภาพนี้แสดงลักษณะที่ pore canal มีต้นกำเนิดมาจากเซลล์เยื่อผิว (EP : epicuticle ; EN : endocuticle ; PC : pore canal ; PM : plasma membrane plaques) กำลังขยาย 59,000 เท่า
- ภาพที่ 9 ภาพแสดงชั้นย่อยของชั้น epicuticle 6 ชั้น ชั้นย่อยที่ 1 อยู่นอกสุดมีลักษณะไม่เรียบ เนื่องจากมี electron dense กลุ่มเล็ก ๆ มาเชื่อมกันตลอด ชั้นย่อยที่ 2 มีสีจางเกือบขาว ชั้นย่อยที่ 3 มีสีเข้มเป็นแถบและมีความหนาของชั้นค่อนข้างคงที่ ชั้นย่อยที่ 4 มีสีจางและมีเส้นใยจากชั้นที่ 3 และชั้นที่ 5 ยื่นเข้ามาในบางบริเวณ ชั้นย่อยที่ 5 มีเส้นใยเรียงกันอย่างไม่เป็นระเบียบ ชั้นที่ 6 หนาที่สุด และมีกลุ่มสารสีเข้มกระจายอยู่ทั่วไป (EP : epicuticle ; EX : exocuticle ; EN : endocuticle ; PC : pore canal ; PM : plasma membrane plaques) กำลังขยาย 200,000 เท่า
- ภาพที่ 10 ภาพกำลังขยายสูงในชั้น exocuticle เห็นภาพตัดตามขวางของ microfibrils มีลักษณะเป็นจุดสีเข้มที่มีแนวโน้มมาเรียงตัวกันในลักษณะโค้ง โดยมีปลายทั้งสองมาเชื่อมกับชั้นย่อยสีเข้มที่อยู่ทั้ง 2 ข้าง (: ลักษณะโค้งของ microfibrils ; EX : exocuticle ; PC : pore canal) กำลังขยาย 220,000 เท่า



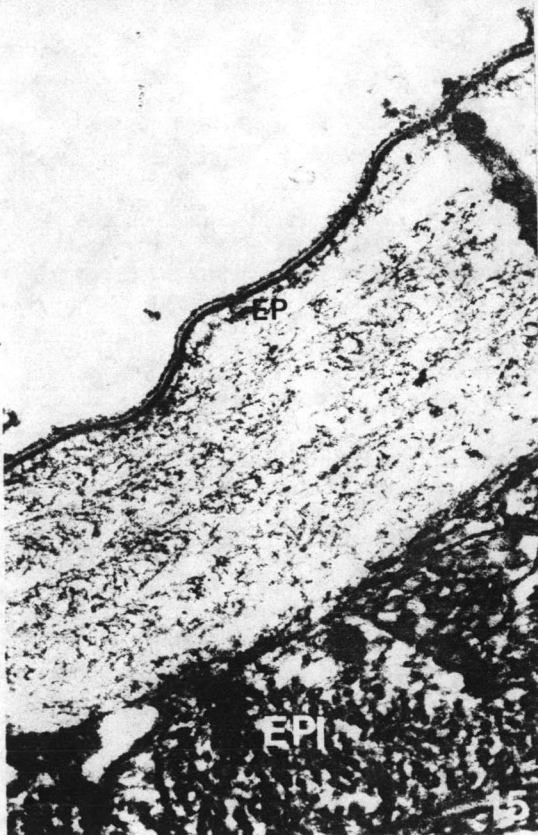
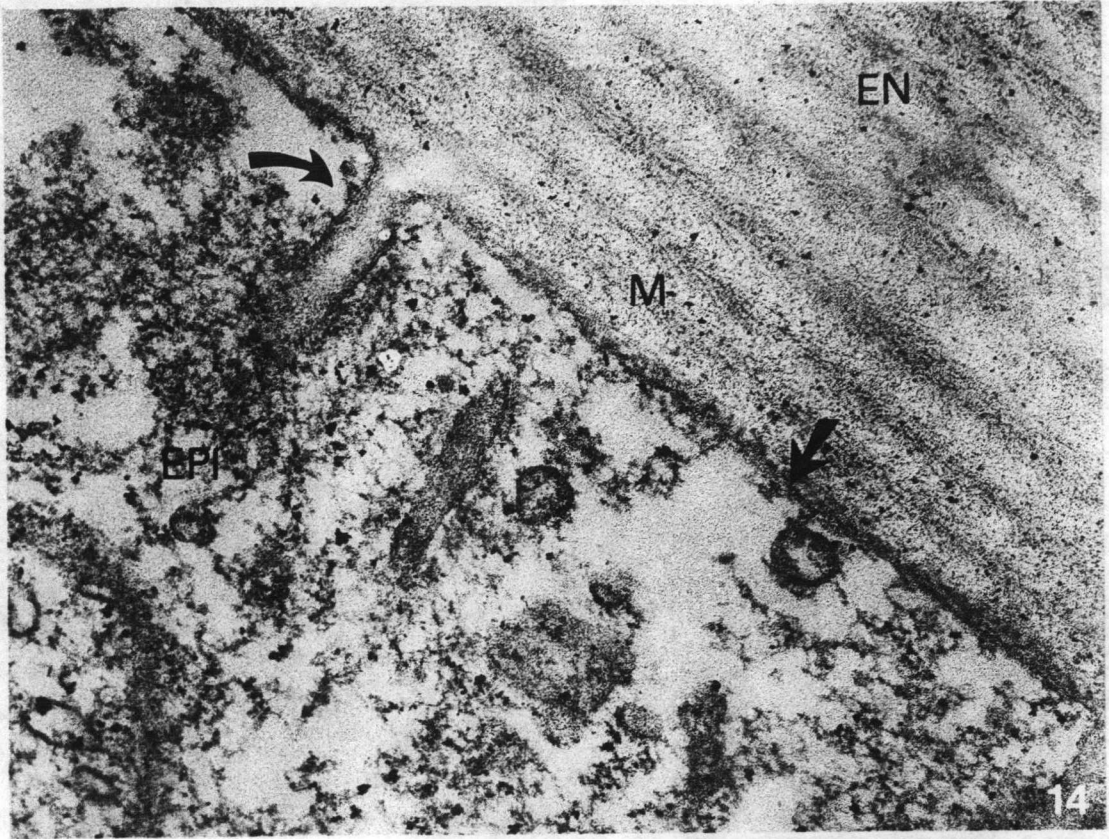
- ภาพที่ 11 โครงสร้างเปลือกกุ้งแช่บิวย้วยอ่อนในระยะระหว่างการลอกคราบ มีชั้น endocuticle หนามากขึ้น และเริ่มสร้าง membranous layer แต่ยังไม่มีการสร้าง molting fluid ในภาพนี้พบลักษณะโครงสร้างเปลือกที่ยื่นเข้าไปแทรกอยู่ในชั้น เซลเยื่อบุผิวซึ่งจะเรียกว่า cuticular Projections และแต่ละ cuticular projection จะมี microfibrils กระจายอยู่โดยรอบ (EP : epicuticle ; EX : exocuticle ; EN : endocuticle ; M : membranous layer ; ลูกร : cuticular projection) กำลังขยาย 37,000 เท่า
- ภาพที่ 12 โครงสร้างเปลือกกุ้งแช่บิวย้วยอ่อนในระยะก่อนการลอกคราบ ระยะนี้มีโครงสร้างเปลือกครบทุกชั้นคือ epicuticle, exocuticle, endocuticle และ membranous layer เปลือกในระยะนี้จะแยกออกจากชั้นของเซลล์เยื่อบุผิวโดยมีช่องเหลวที่เกี่ยวข้องกับการลอกคราบ (molting fluid) อยู่ตรงรอยแยก (EP : epicuticle ; EX : exocuticle ; EN endocuticle ; M : membranous layer ; m : molting fluid) กำลังขยาย 32,000 เท่า
- ภาพที่ 13 โครงสร้างเปลือกกุ้งแช่บิวย้วยอ่อนในระยะหลังการลอกคราบ แสดงลักษณะของ microfibrils ที่ยังไม่จัดตัวเป็นระเบียบ (EP : epicuticle ; EX : exocuticle ; EN : endocuticle ; PC : pore canal ; ลูกร : microfibrils ที่ยังไม่จัดตัวเป็นระเบียบ) กำลังขยาย 94,000 เท่า



0.5, 1.1, 1.45 และ 0.55 ไมโครเมตรตามลำดับ ลักษณะของชั้น membranous layer คล้ายกับชั้น endocuticle คือชั้นย่อยจะปรากฏเป็นแนวสีเข้มสลับขาว แต่ชั้นย่อยของ membranous layer จะมีความหนาน้อยกว่าชั้นย่อยของ endocuticle โดยมีการเปลี่ยนแปลงกันที่มองเห็นได้ค่อนข้างชัดเจน ความหนาของแต่ละชั้นย่อยภายในชั้น membranous layer จะใกล้เคียงกัน ในระยะนี้จะเห็นการแยกของเซลล์เยื่อผิวหนังออกจากเปลือกซึ่งเรียกลักษณะนี้ว่า "apolysis" โดยพื้นที่ระหว่างเปลือกและเซลล์เยื่อผิวหนังจะมีของเหลว (molting fluid) แทรกอยู่ (ภาพที่ 12)

นอกจากมีการเปลี่ยนแปลงโครงสร้างเปลือกหลังการลอกคราบโดยแบ่งเป็นระยะต่าง ๆ ดังกล่าวมาแล้ว ยังพบลักษณะอื่น ๆ ที่เกี่ยวข้องกับการสร้างเปลือกรวมอยู่ด้วย ได้แก่ plasma membrane plaques และ pore canal plasma membrane plaques ในระยะหลังการลอกคราบมีลักษณะเป็นกลุ่มสารที่ทึดสีเข้ม (electron dense) อยู่บริเวณปลายยอดของผนังเซลล์เยื่อผิวหนังที่มีลักษณะเหมือนนิ้วมือยื่นออกมา (microvilli) (ภาพ 7 และ 8) และตรงเปลือกบริเวณที่ติดกับ plasma membrane plaques จะมีลักษณะของสาร ทึดสีเข้มมาก มีลักษณะคล้าย microfibrils เชื่อมอยู่บน plasma membrane plaques โดย microfibrils นี้ยังไม่จัดตัวเป็นระเบียบและยังไม่เรียงตัวเป็นชั้นย่อยของชั้น endocuticle (ภาพ 13) เมื่อเข้าสู่ระยะระหว่างการลอกคราบลักษณะผิว (apical surface) ของเซลล์เยื่อผิวหนังจะค่อนข้างเรียบโดยมีรอยหยักขนาดเล็กและน้อยกว่าระยะหลังการลอกคราบมาก (ภาพ 14) ในระยะนี้จะไม่เห็นลักษณะสีเข้มของ plasma membrane plaques แต่ยังมีโครงสร้างชั้นย่อยของ membranous layer ต่อไป ดังจะเห็นได้จากภาพ 14 เป็นการสร้างชั้นย่อยสีทึบตรงผิวของเซลล์เยื่อผิวหนังที่ ซึ่งต่างจากรยะหลังการลอกคราบใหม่ ๆ ที่มี plasma membrane plaques และมีลักษณะของ microfibrils ที่ยังไม่เรียงเป็นชั้นย่อยอยู่ติดกับผิวของเซลล์เยื่อผิวหนัง สำหรับในระยะก่อนการลอกคราบเป็นระยะที่โครงสร้างเปลือกสมบูรณ์และมีการแยกของเปลือกออกจากเซลล์เยื่อผิวหนัง (ภาพ 12) ผิวของเซลล์เยื่อผิวหนังจะเรียบกว่าระยะหลังการลอกคราบ หรือระยะระหว่างการลอกคราบ นอกจาก plasma membrane plaques แล้ว ยังมีโครงสร้างเปลือกอีกอย่างหนึ่งเรียกว่า pore canal ซึ่งมีลักษณะเป็นท่อที่มีต้นกำเนิดมาจากเซลล์เยื่อผิวหนังผ่านเปลือกชั้นต่าง ๆ มาสิ้นสุดที่ epicuticle ชั้นย่อยที่ 3 (ภาพ 8 และ 9) ภายใน pore canal มีสารที่สีทึบเข้มไม่เป็นเนื้อเดียวกัน

- ภาพที่ 14 ผิวของเซลเยื่อผิวในระยะระหว่างการลอกคราบ มีลักษณะการสร้างชั้นย่อยสีทึบของ membranous layer ทันทีที่บริเวณผิวของเซล (EN : endocuticle ; M : membranous layer ; ลูกศรโค้ง : cuticular projection ; ลูกศรตรง : ชั้นย่อยสีทึบ ; EPI : epidermis) กำลังขยาย 115,000 เท่า
- ภาพที่ 15 โครงสร้างเปลือกกระยะหลังการลอกคราบของกิ้งแกวัยอ่อนที่เลี้ยงในสารไดฟลูเบนซuron เห็นลักษณะ microfibrils ที่มาเรียงเป็นชั้นย่อย (lamellar) ไม่เป็นระเบียบโดยไม่สามารถแยกความแตกต่างระหว่างชั้น exocuticle และชั้น endocuticle ได้ และเปลือกจะหนาน้อยกว่ากิ้งแกวัยอ่อนในหน่วยควบคุม (EP : epicuticle ; EPI : epidermis) กำลังขยาย 92,000 เท่า
- ภาพที่ 16 โครงสร้างเปลือกกระยะระหว่างการลอกคราบของกิ้งแกวัยอ่อนที่เลี้ยงในสารไดฟลูเบนซuron ความหนาจะลดลง ไม่สามารถบอกความแตกต่างของชั้น exocuticle, endocuticle และ membranous layer ได้อย่างชัดเจน microfibrils บางลง และในบางบริเวณมีรูพรุน (EP : epicuticle ; ลูกศร : บริเวณที่มีรูพรุน) กำลังขยาย 32,000 เท่า



นอกจากนี้ยังพบโครงสร้างที่มีลักษณะเป็นส่วนยื่นออกไปจากเปลือกเข้าไปแทรกอยู่ในชั้นเซลเยื่อผิวหนังซึ่งจะเรียกว่า cuticular projection (ลูกศรโค้ง) จากภาพขยายใหญ่ของเปลือกกุ้งแช่บ๊วยแช่เย็น (ภาพ 14) จะพบ cuticular projections ยื่นออกมาจากเปลือกเข้ามาแทรกอยู่ในเซลเยื่อผิวหนัง แต่ละ cuticular projection จะมี microfibrils มายึดอยู่โดยรอบ

2. ผลของสารไดฟลูเบนซูรอนต่อโครงสร้างเปลือกกุ้งแช่บ๊วยแช่เย็นในรอบการลอกคราบ

2.1 ผลของสาร ไดฟลูเบนซูรอนต่อโครงสร้างเปลือกกุ้งแช่บ๊วยแช่เย็นในระดับกล้องจุลทรรศน์ธรรมดา จากการใช้สารไดฟลูเบนซูรอนความเข้มข้น 1 ไมโครกรัมต่อลิตรเลี้ยงกุ้งแช่บ๊วยแช่เย็นแล้วจึงเก็บตัวอย่างหลังจากให้สารไดฟลูเบนซูรอนที่ระยะ 24, 48, 67.5, 68.0, 68.5, 69, 69.5, 70, 70.5 และ 71 พบว่าโครงสร้างเปลือกกุ้งแช่บ๊วยแช่เย็นมีความแตกต่างกันอยู่ 3 แบบเหมือนกับในหน่วยควบคุมทุกประการคือ

ก. ระยะหลังการลอกคราบ เปลือกกุ้งแช่บ๊วยแช่เย็นจะบางที่สุดเนื่องจากเพิ่งผ่านการลอกคราบมาใหม่ ๆ (ภาพ 3.1)

ข. ระยะระหว่างการลอกคราบ เป็นระยะที่เปลือกกุ้งแช่บ๊วยแช่เย็นมีความหนามากที่สุดและมีชั้นต่าง ๆ ได้แก่ชั้น epicuticle, exocuticle และ endocuticle ครบทุกชั้น (ภาพ 3.2)

ค. ระยะก่อนการลอกคราบ ระยะที่เปลือกกุ้งแช่บ๊วยแช่เย็นซ้อนกัน (ภาพที่ 3.3)

จากการศึกษาพบว่าในระดับกล้องจุลทรรศน์ธรรมดาไม่สามารถบอกความแตกต่างของโครงสร้างเปลือกกุ้งแช่บ๊วยแช่เย็นที่อาจเกิดขึ้นจากการเลี้ยงในสารไดฟลูเบนซูรอนได้ ความแตกต่างที่พบคือความหนาของชั้นต่าง ๆ (ตารางที่ 24) ในชั้น endocuticle ของกุ้งแช่บ๊วยแช่เย็นที่เลี้ยงในไดฟลูเบนซูรอนทุกระยะ จะหนาน้อยกว่ากุ้งแช่บ๊วยแช่เย็นในกลุ่มควบคุม (ตารางที่ 22 และ 24) สำหรับเปลือกชั้น exocuticle ของกุ้งแช่บ๊วยแช่เย็นที่เลี้ยงในสารไดฟลูเบนซูรอนในระยะระหว่างการลอกคราบ จะมีความหนาน้อยกว่าเปลือกกุ้งแช่บ๊วยแช่เย็นในหน่วยควบคุม ส่วนระยะหลังการลอกคราบ และระยะก่อนการลอกคราบ ซึ่งต้องวัดความหนาของชั้น epicuticle และ exocuticle มารวมกันปรากฏว่าเปลือกกุ้งแช่บ๊วยแช่เย็นที่เลี้ยงในสารไดฟลูเบนซูรอน

ตาราง 24 ความหนาของชั้นต่าง ๆ ในเปลือกและชั้นของเซลล์เยื่อผิวในกิ่งแช่บิวยวันอ่อนที่เลี้ยงในสารไดฟลูเบนซูรอน

ระยะ	ค่าเฉลี่ยความหนาของชั้นต่าง ๆ (ไมโครเมตร)			
	epicuticle	exocuticle	endocuticle	epidermis
ก	0.536		0.510	1.786
ข	0.577	0.754	2.041	2.466
ค	เก่า 1.136 ใหม่ 0.868		เก่า 1.292	5.102

มีความหนามากกว่ากลุ่มควบคุม ข้อแตกต่างของความหนาของเปลือกชั้นต่าง ๆ จะสรุปได้ชัดเจนยิ่งขึ้นในหัวข้อผลของสารไดฟลูเบนซูรอนต่อโครงสร้างเปลือกกิ่งแช่บิวยวันอ่อนในระดับกล้องจุลทรรศน์อิเล็กตรอน

2.2 ผลของสารไดฟลูเบนซูรอนต่อโครงสร้างเปลือกกิ่งแช่บิวยวันอ่อนในระดับกล้องจุลทรรศน์อิเล็กตรอน การเก็บตัวอย่างกิ่งแช่บิวยวันอ่อนที่เลี้ยงในสารไดฟลูเบนซูรอนมีลักษณะที่แตกต่างจากหน่วยควบคุมคือสามารถจับกิ่งแช่บิวยวันอ่อนมาเตรียมตัวอย่างได้ง่ายกว่า เนื่องจากกิ่งแช่บิวยวันอ่อนจากกลุ่มที่เลี้ยงในสารไดฟลูเบนซูรอนจะว่ายน้ำได้ช้าทั้งตัวที่ลอกคราบแล้วและตัวที่ยังไม่ได้ลอกคราบ นอกจากนี้จำนวนกิ่งแช่บิวยวันอ่อนที่เลี้ยงในสารไดฟลูเบนซูรอนที่ลอกคราบในระยะต่าง ๆ (ตารางที่ 25) จะแตกต่างจากกิ่งแช่บิวยวันอ่อนในกลุ่มควบคุม (ตารางที่ 23) คือกิ่งแช่บิวยวันอ่อนจากกลุ่มควบคุมจะเริ่มลอกคราบตั้งแต่ระยะ 67.5 C และมีการลอกคราบทุกระยะไปจนถึงระยะ 72 C โดยจำนวนกิ่งแช่บิวยวันอ่อนที่ลอกคราบแล้วจะเพิ่มขึ้นเรื่อย ๆ ตามเวลา

ตารางที่ 25 จำนวนการลอกคราบและไม่ลอกคราบของกุ้งแชบ๊วยวัยอ่อนที่เลี้ยงในสารไดฟลูเบนซูรอนในระยะต่าง ๆ หลังการลอกคราบ

ระยะ			67.5t	68t	68.5t	69t	69.5t	70t	70.5t	72t
ไม่ลอกคราบ (ตัว)			10	10	10	10	5	5	8	10
ลอก คราบ (ตัว)	ตาย	A	-	-	-	-	-	-	-	2
		B	-	-	-	-	-	-	3	5
	ไม่ตาย	C	-	-	-	-	-	-	-	2
		D	-	-	-	-	-	-	7	3
รวม (ตัว)			10	10	10	10	5	5	18	20

- t : กลุ่มของกุ้งแชบ๊วยวัยอ่อนที่เลี้ยงในสารไดฟลูเบนซูรอน (treatment groups)
 A : ตายในลักษณะเปลือกติดอยู่บริเวณ carapace
 B : ตายในท่าตัวบิดพยายามจะลอกคราบเปลือกออก
 C : นำมาเตรียมตัวอย่างที่กำลังลอกคราบไม่ออกเนื่องจากเปลือกติดอยู่ที่ carapace
 D : ลอกคราบออกได้แต่ค่อนข้างจะอ่อนแอ

ที่เพิ่มขึ้น สำหรับกุ้งแชบ๊วยวัยอ่อนที่เลี้ยงในสารไดฟลูเบนซูรอนจะไม่ลอกคราบเลยในระยะแรก ๆ (67.5t - 70t) แต่จะเริ่มลอกคราบในระยะ 70.5t ซึ่งกุ้งแชบ๊วยวัยอ่อนบางตัวจะตายเนื่องจากมีปัญหาในการลอกคราบ ในการทดลองนี้เก็บตัวอย่างกุ้งแชบ๊วยวัยอ่อนในแต่ละระยะไม่เท่ากันเช่นในระยะ 67.5t - 69t เก็บตัวอย่างละ 10 ตัว แต่เมื่อพบว่าที่ระยะ 69.5t ไม่มีกุ้งแชบ๊วยวัยอ่อนลอกคราบเลยจึงเก็บตัวอย่างเพียง 5 ตัวในระยะ 69.5t และระยะ 70t เพื่อหาทางแก้ปัญหาเฉพาะหน้าเนื่องจากไม่แน่ใจว่ากุ้งแชบ๊วยวัยอ่อนจะไปลอกคราบระยะใด จึงลดจำนวนการเก็บตัวอย่างลงเพื่อให้มีกุ้งแชบ๊วยวัยอ่อนเหลือพอหากจำเป็นต้องเพิ่มระยะหลังระยะ

72t ออกไปอีก (ในกรณีที่ถูกแช่บิวรี่อ่อนยังไม่ได้ออกคราบที่ระยะ 72t) เมื่อถึงระยะ 7๘.5t ปรากฏว่ามีกึ่งแช่บิวรี่อ่อนบางตัวเริ่มลอกคราบจึงเพิ่มการเก็บตัวอย่างในระยะนี้เป็น 18 ตัว และเพิ่มตัวอย่างในระยะ 72t เป็น 2๐ ตัว ตามลำดับ ปัญหาการเพิ่มระยะหลังระยะ 72t จึงตกไป

เมื่อนำตัวอย่างกึ่งแช่บิวรี่อ่อนที่เลี้ยงในสารไดฟลูเบนซูรอนดังกล่าวมาเตรียม ตัวอย่างแล้วศึกษาด้วยกล้องจุลทัศน์อิเล็กตรอนพบว่าที่โครงสร้างเปลือกบางบริเวณมีการเปลี่ยนแปลงต่างไปจากกึ่งแช่บิวรี่อ่อนในกลุ่มควบคุมดังต่อไปนี้

ก. ระยะหลังการลอกคราบ จากภาพ 15 จะเห็นได้ชัดว่าโครงสร้างเปลือกมี microfibrils ที่มาเรียงเป็นชั้นย่อย (lamellar) ในลักษณะที่ไม่เป็นระเบียบโดยไม่สามารถแยกความแตกต่างระหว่างชั้น exocuticle และ endocuticle ได้ นอกจากนี้ความหนาของเปลือกในระยะนี้จะเท่ากับ ๘.541 ไมโครเมตร ซึ่งมีความหนาน้อยกว่าเปลือกของกึ่งแช่บิวรี่อ่อนจากกลุ่มควบคุมในระยะเดียวกัน (ภาพ 7, 8 และ 13) ส่วนในภาพ 19 เป็นภาพโครงสร้างเปลือกกึ่งแช่บิวรี่อ่อนที่เลี้ยงในสารไดฟลูเบนซูรอนหลังการลอกคราบใหม่ ๆ เช่นเดียวกันแต่มีการเปลี่ยนแปลงที่แตกต่างออกไป คือจะเห็นชั้น exocuticle แยกต่างจากชั้น endocuticle ชัดเจน แต่ปรากฏความผิดปกติในชั้น exocuticle โดยพบการเรียงตัวของ microfibrils ของชั้นย่อยมีความหนาไม่สม่ำเสมอ และ microfibrils บางบริเวณจะขาดหายไป (ลูกศรชี้) สำหรับในชั้น endocuticle ของเปลือกกึ่งแช่บิวรี่อ่อนที่เลี้ยงในสารไดฟลูเบนซูรอนจะต่างกับชั้น endocuticle ของกึ่งแช่บิวรี่อ่อนจากกลุ่มควบคุมคือชั้น endocuticle จากกลุ่มควบคุมจะมีชั้นย่อยจางแซมแยกเป็นชั้นสลับกันไปอย่างชัดเจน (ภาพ 7, 8 และ 13) แต่ endocuticle ของเปลือกกึ่งแช่บิวรี่อ่อนที่เลี้ยงในสารไดฟลูเบนซูรอน (ภาพ 19) จะไม่สามารถแยกชั้นย่อยจางและชั้นย่อยแซมได้อย่างชัดเจนเนื่องจาก microfibrils จัดตัวอย่างไม่เป็นระเบียบ อย่างไรก็ตามยังคงพบ plasma membrane plaques เหมือนกับโครงสร้างเปลือกของกึ่งแช่บิวรี่อ่อนจากกลุ่มควบคุม (ภาพ 19)

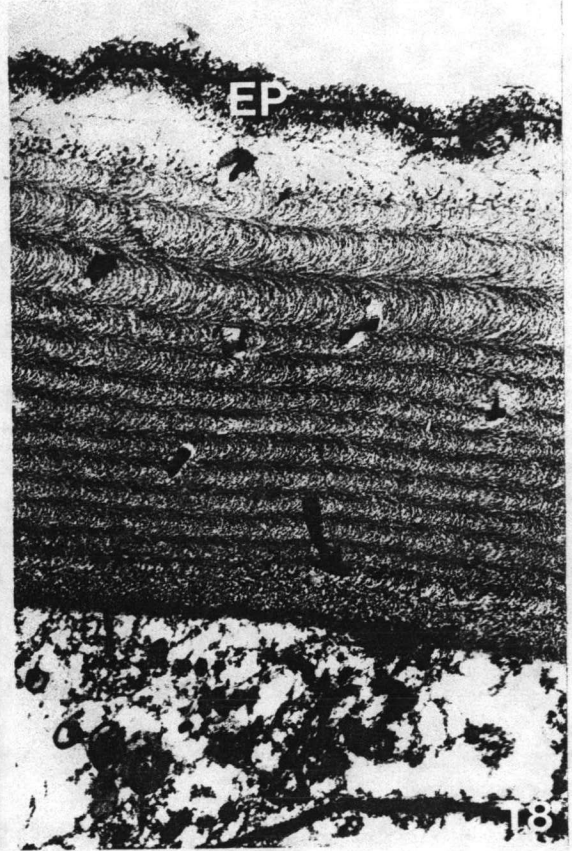
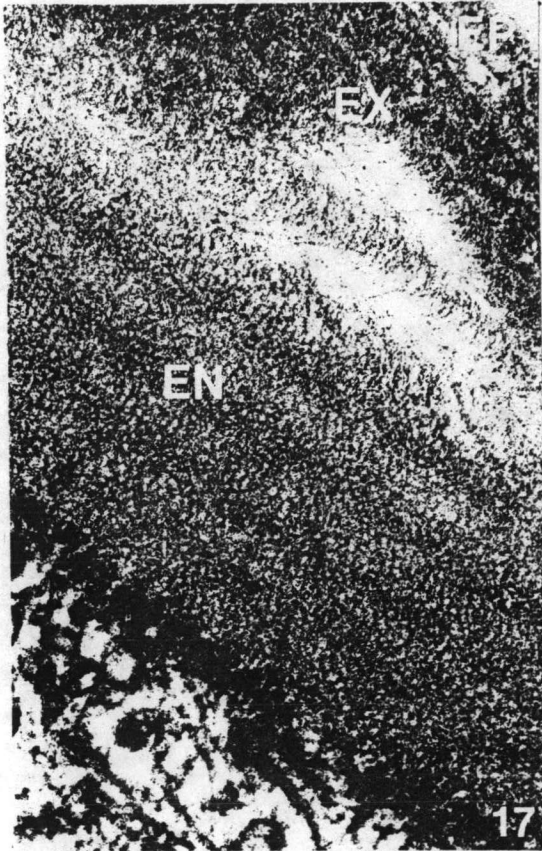
ข. ระยะระหว่างการลอกคราบ เปลือกที่อยู่ในระยะนี้มีชั้น endocuticle หนากว่าระยะหลังลอกคราบ แต่ความหนาของเปลือกกึ่งแช่บิวรี่ที่เลี้ยงในสารไดฟลูเบนซูรอนจะลดลง (ภาพ 16) เหลือเพียง 2.๘5๘ ไมโครเมตร (เปลือกกึ่งแช่บิวรี่อ่อนจากกลุ่มควบคุมในระยะเดียวกัน (ภาพ 11) มีความหนา 3.๘๐๘ ไมโครเมตร) นอกจากนี้ยังไม่สามารถบอกความแตกต่างของชั้น exocuticle endocuticle และชั้น membranous layer ในเปลือกของกึ่ง

ที่เลี้ยงในสารไดฟลูเบนซอรอนได้อย่างชัดเจน และmicrofibrils จะบางลงและในบางบริเวณจะมีรูพรุน (ภาพ 16) จากภาพ 17 จะเห็นผลของสารไดฟลูเบนซอรอนที่เกิดกับโครงสร้างเปลือกกุ้งแซบิววัยอ่อนอย่างชัดเจนนั่นคือในบริเวณที่เป็นชั้น exocuticle จะมี microfibrils ที่เรียงตัวผิดไปมากโดยมีลักษณะเป็นคลื่นและไม่เป็นระเบียบทำให้ไม่สามารถแยกชั้นย่อยของ exocuticle ได้ ความหนาของเปลือกก็ลดลงเหลือเพียง 1.467 ไมโครเมตร ในบริเวณใกล้เคียงกันจะพบลักษณะโครงสร้างเปลือกที่เกือบปกติเห็นชั้นย่อยของ exocuticle และ endocuticle (ภาพ 18) แต่ไม่สามารถแยกชั้น exocuticle กับชั้น endocuticle ออกจากกันได้อย่างเด่นชัด และตรงชั้นย่อยของ endocuticle บริเวณที่ติดกับเซลล์เยื่อผิวหนังจะพบ microfibrils เรียงตัวอยู่อย่างไม่เป็นระเบียบ

สำหรับชั้น epicuticle ไม่พบโครงสร้างที่แตกต่างไปจากชั้น epicuticle ของกุ้งแซบิววัยอ่อนในกลุ่มควบคุม

อย่างไรก็ตามจากตัวอย่างของกุ้งแซบิววัยอ่อนกลุ่มที่เลี้ยงด้วยสารไดฟลูเบนซอรอนยังพบลักษณะที่มีเปลือกซ้อนกัน (ภาพ 20 และ 21) และมีโครงสร้างเปลือกที่ปกติ ชั้น endocuticle ของเปลือกเก่าจะบางเหลือน้อยลงกว่าระยะระหว่างการลอกคราบเนื่องจากอาจมีการย่อยสลายเพื่อนำกลับไปสร้างเปลือกใหม่ และในระยะนี้ยังเห็น plasma membrane plaques (ภาพ 21) ชัดเจนเช่นเดียวกับในระยะที่กุ้งแซบิววัยอ่อนเพิ่งลอกคราบใหม่ ๆ

- ภาพที่ 17 โครงสร้างเปลือกในระยะระหว่างการลอกคราบของกิ้งชงวัยอ่อนที่เลี้ยงในสารไดฟลูเบนซuron มีชั้น exocuticle ที่ microfibrils เรียงตัวผิดไปมาก โดยมีลักษณะเป็นคลื่น และไม่เป็นระเบียบทำให้ไม่สามารถแยกชั้นย่อยของชั้น exocuticle ได้ ความหนาของเปลือกลดลงเมื่อเปรียบเทียบกับเปลือกระยะเดียวกันในกิ้งชงวัยอ่อนของกลุ่มควบคุม (EP : epicuticle ; EX : exocuticle ; EN : endocuticle) กำลังขยาย 63,000 เท่า
- ภาพที่ 18 โครงสร้างเปลือกระยะระหว่างการลอกคราบของกิ้งชงวัยอ่อนบริเวณใกล้เคียงกับภาพที่ 17 ลักษณะโครงสร้างเปลือกเกือบปกติเห็นชั้นย่อยของชั้น exocuticle และชั้น endocuticle แต่ไม่สามารถแยกออกจากกันได้อย่างชัดเจนและตรงชั้นย่อยของ endocuticle บริเวณที่ติดกับเซลล์ผิวหนังจะพบ microfibrils เรียงตัวอย่างไม่เป็นระเบียบ (EP : epicuticle ; ลูกศร : บริเวณที่ microfibrils เรียงตัวอย่างไม่เป็นระเบียบ) กำลังขยาย 45,000 เท่า
- ภาพที่ 19 โครงสร้างเปลือกระยะหลังการลอกคราบของกิ้งชงวัยอ่อนที่เลี้ยงในสารไดฟลูเบนซuron ในภาพนี้เห็นชั้น exocuticle แตกต่างจากชั้น endocuticle อย่างชัดเจน แต่มีความผิดปกติในชั้น exocuticle คือมีการเรียงตัวของ microfibrils ในชั้นย่อยไม่สม่ำเสมอและ microfibrils ในบางบริเวณจะขาดหายไป (EP : epicuticle ; EXO : exocuticle ; EN : endocuticle ; PM : plasma membrane plaques ; ลูกศร : บริเวณที่ microfibrils ขาดหายไป) กำลังขยาย 48,000 เท่า



- ภาพที่ 20 โครงสร้างเปลือกกุ้งแช่บิวย้วยอ่อนที่เลี้ยงในสารไดฟลูเบนซูรอนในระยะก่อนการลอกคราบ เห็นลักษณะเปลือกใหม่และเก่าซ้อนกัน มีโครงสร้างเปลือกปกติ ชั้น endocuticle ของเปลือกเก่าจะบางกว่าระยะระหว่างการลอกคราบเนื่องจากอาจมีการย่อยสลายเพื่อนำไปสร้างเปลือกใหม่ (OEP : old epicuticle ; OEX : old exocuticle ; OEN : old endocuticle ; NEP : new epicuticle ; NEX : new exocuticle ; EPI : epidermis) กำลังขยาย 48,000 เท่า
- ภาพที่ 21 โครงสร้างเปลือกกุ้งแช่บิวย้วยอ่อนที่เลี้ยงในสารไดฟลูเบนซูรอนในบริเวณใกล้เคียงกับภาพที่ 20 จะเห็น plasma membrane plaque อยู่บนผิวของเซลล์เยื่อบุผิว (OC : old cuticle ; NC : new cuticle ; PM : plasma membrane plaque) กำลังขยาย 69,000 เท่า

